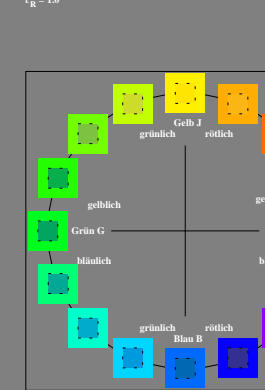
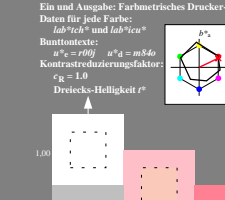


Ein und Ausgabe: Farbmetrisches Drucker-Reflexiv-System ORS22_96a
Daten für jede Farbe:
 u^*_e und Nummer Nr. = 00...15
Elementar-Bauformtext:
 $u^*_e = 16$ Bauformtext $600; r25j; \dots; b75r$
Kontrastreduzierungsfaktor:
 $c_R = 1.0$

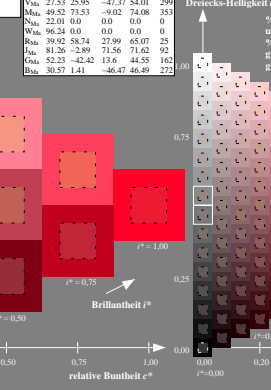
ORS22_96a; adaptierte CIELAB-Daten			
L^*	a^*	b^*	m_{90}
48.89	66.19	40.28	77.48
25.55	53.38	48.38	72.04
65.2	35.87	59.45	69.43
74.97	18.14	70.66	72.95
86.84	-3.4	84.28	84.35
80.13	-25.99	72.23	76.76
69.85	-42.61	56.0	70.37
60.33	-57.99	40.99	71.02
57.26	-58.35	18.71	61.27
59.78	-46.2	-7.82	46.86
61.68	-37.02	-27.87	46.34
56.81	-20.63	-42.98	47.07
42.98	1.37	-45.05	45.07
28.03	27.03	-46.5	53.78
37.82	48.22	-29.42	56.48
49.41	72.75	-3.76	72.85



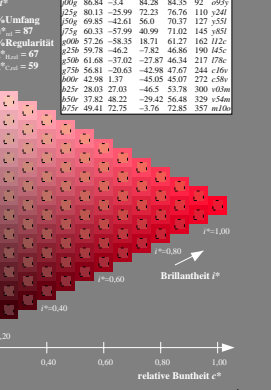
ORS22_96a; adaptierte CIELAB-Daten			
L^*	a^*	b^*	m_{90}
48.89	66.19	40.28	77.48
25.55	53.38	48.38	72.04
65.2	35.87	59.45	69.43
74.97	18.14	70.66	72.95
86.84	-3.4	84.28	84.35
80.13	-25.99	72.23	76.76
69.85	-42.61	56.0	70.37
60.33	-57.99	40.99	71.02
57.26	-58.35	18.71	61.27
59.78	-46.2	-7.82	46.86
61.68	-37.02	-27.87	46.34
56.81	-20.63	-42.98	47.07
42.98	1.37	-45.05	45.07
28.03	27.03	-46.5	53.78
37.82	48.22	-29.42	56.48
49.41	72.75	-3.76	72.85



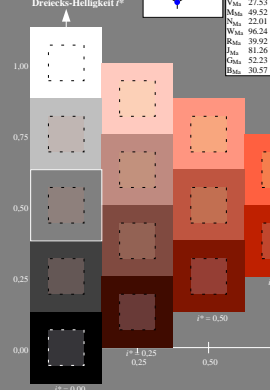
Ein und Ausgabe: Farbmetrisches Drucker-Reflexiv-System ORS22_96, L* = 22_96 für relativen CIELAB-Bauform $h^* = lab^*h^* = h_{90}/360 = 0.071$ $u^*_e = 600$
Daten für jede Farbe:
 lab^*h^* und lab^*ic^*
Bauformtext:
 $u^*_e = r00j$ $u^*_d = m80s$
Kontrastreduzierungsfaktor:
 $c_R = 1.0$
Dreiecks-Helligkeit I^*



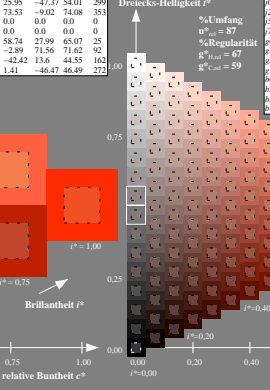
Ein und Ausgabe: Farbmetrisches Drucker-Reflexiv-System ORS22_96, L* = 22_96 für relativen CIELAB-Bauform $h^* = lab^*h^* = h_{90}/360 = 0.117$ $u^*_e = r25j$
Daten für jede Farbe:
 lab^*h^* und lab^*ic^*
Bauformtext:
 $u^*_e = r25j$ $u^*_d = r07j$
Kontrastreduzierungsfaktor:
 $c_R = 1.0$
Dreiecks-Helligkeit I^*



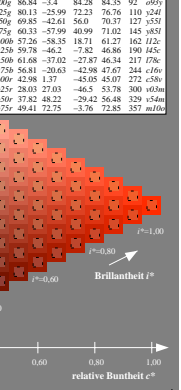
Ein und Ausgabe: Farbmetrisches Drucker-Reflexiv-System ORS22_96, L* = 22_96 für relativen CIELAB-Bauform $h^* = lab^*h^* = h_{90}/360 = 0.164$ $u^*_e = r50j$
Daten für jede Farbe:
 lab^*h^* und lab^*ic^*
Bauformtext:
 $u^*_e = r50j$ $u^*_d = r02j$
Kontrastreduzierungsfaktor:
 $c_R = 1.0$
Dreiecks-Helligkeit I^*



Ein und Ausgabe: Farbmetrisches Drucker-Reflexiv-System ORS22_96, L* = 22_96 für relativen CIELAB-Bauform $h^* = lab^*h^* = h_{90}/360 = 0.21$ $u^*_e = r75j$
Daten für jede Farbe:
 lab^*h^* und lab^*ic^*
Bauformtext:
 $u^*_e = r75j$ $u^*_d = r09j$
Kontrastreduzierungsfaktor:
 $c_R = 1.0$
Dreiecks-Helligkeit I^*

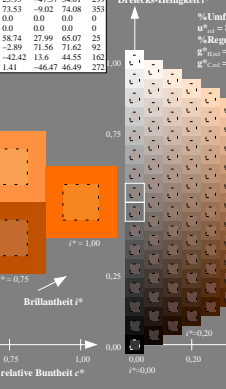
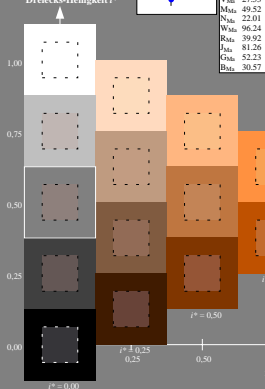


Ein und Ausgabe: Farbmetrisches Drucker-Reflexiv-System ORS22_96, L* = 22_96 für relativen CIELAB-Bauform $h^* = lab^*h^* = h_{90}/360 = 0.256$ $u^*_e = r00g$
Daten für jede Farbe:
 lab^*h^* und lab^*ic^*
Bauformtext:
 $u^*_e = r00g$ $u^*_d = r09j$
Kontrastreduzierungsfaktor:
 $c_R = 1.0$
Dreiecks-Helligkeit I^*

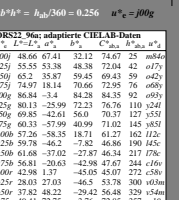
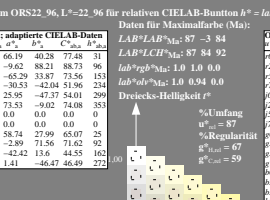
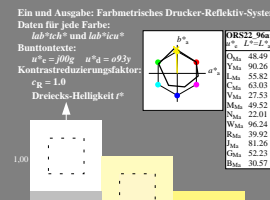
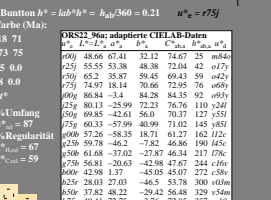
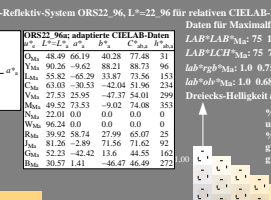
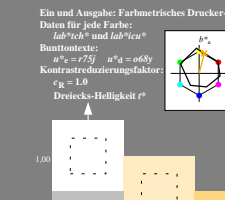


Ein und Ausgabe: Farbmetrisches Drucker-Reflexiv-System ORS22_96, L* = 22_96 für relativen CIELAB-Bauform $h^* = lab^*h^* = h_{90}/360 = 0.164$ $u^*_e = r50j$
Daten für jede Farbe:
 lab^*h^* und lab^*ic^*
Bauformtext:
 $u^*_e = r50j$ $u^*_d = r02j$
Kontrastreduzierungsfaktor:
 $c_R = 1.0$
Dreiecks-Helligkeit I^*

ORS22_96a; adaptierte CIELAB-Daten			
L^*	a^*	b^*	m_{90}
48.89	66.19	40.28	77.48
25.55	53.38	48.38	72.04
65.2	35.87	59.45	69.43
74.97	18.14	70.66	72.95
86.84	-3.4	84.28	84.35
80.13	-25.99	72.23	76.76
69.85	-42.61	56.0	70.37
60.33	-57.99	40.99	71.02
57.26	-58.35	18.71	61.27
59.78	-46.2	-7.82	46.86
61.68	-37.02	-27.87	46.34
56.81	-20.63	-42.98	47.07
42.98	1.37	-45.05	45.07
28.03	27.03	-46.5	53.78
37.82	48.22	-29.42	56.48
49.41	72.75	-3.76	72.85

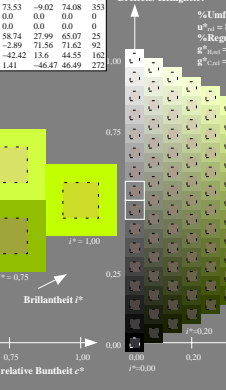
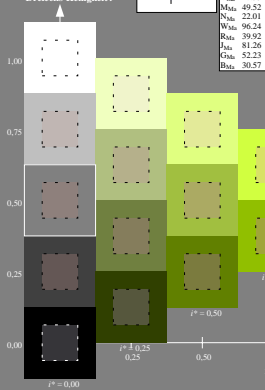


ORS22_96a; adaptierte CIELAB-Daten			
L^*	a^*	b^*	m_{90}
48.89	66.19	40.28	77.48
25.55	53.38	48.38	72.04
65.2	35.87	59.45	69.43
74.97	18.14	70.66	72.95
86.84	-3.4	84.28	84.35
80.13	-25.99	72.23	76.76
69.85	-42.61	56.0	70.37
60.33	-57.99	40.99	71.02
57.26	-58.35	18.71	61.27
59.78	-46.2	-7.82	46.86
61.68	-37.02	-27.87	46.34
56.81	-20.63	-42.98	47.07
42.98	1.37	-45.05	45.07
28.03	27.03	-46.5	53.78
37.82	48.22	-29.42	56.48
49.41	72.75	-3.76	72.85

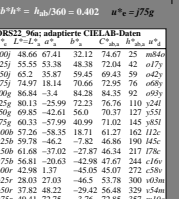
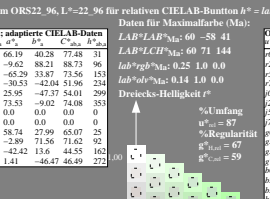
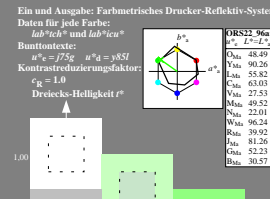
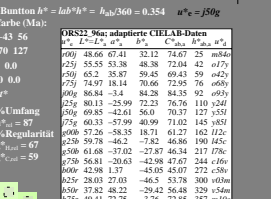
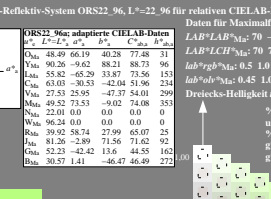
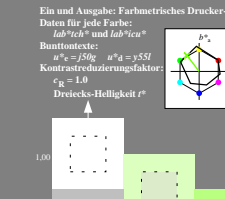


Ein und Ausgabe: Farbmetrisches Drucker-Reflexiv-System ORS22_96, L* = 22_96 für relativen CIELAB-Bauform $h^* = lab^*h^* = h_{90}/360 = 0.205$ $u^*_e = r25g$
Daten für jede Farbe:
 lab^*h^* und lab^*ic^*
Bauformtext:
 $u^*_e = r25g$ $u^*_d = r24l$
Kontrastreduzierungsfaktor:
 $c_R = 1.0$
Dreiecks-Helligkeit I^*

ORS22_96a; adaptierte CIELAB-Daten			
L^*	a^*	b^*	m_{90}
48.89	66.19	40.28	77.48
25.55	53.38	48.38	72.04
65.2	35.87	59.45	69.43
74.97	18.14	70.66	72.95
86.84	-3.4	84.28	84.35
80.13	-25.99	72.23	76.76
69.85	-42.61	56.0	70.37
60.33	-57.99	40.99	71.02
57.26	-58.35	18.71	61.27
59.78	-46.2	-7.82	46.86
61.68	-37.02	-27.87	46.34
56.81	-20.63	-42.98	47.07
42.98	1.37	-45.05	45.07
28.03	27.03	-46.5	53.78
37.82	48.22	-29.42	56.48
49.41	72.75	-3.76	72.85

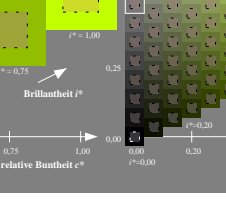
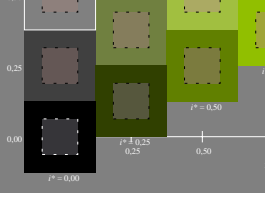


ORS22_96a; adaptierte CIELAB-Daten			
L^*	a^*	b^*	m_{90}
48.89	66.19	40.28	77.48
25.55	53.38	48.38	72.04
65.2	35.87	59.45	69.43
74.97	18.14	70.66	72.95
86.84	-3.4	84.28	84.35
80.13	-25.99	72.23	76.76
69.85	-42.61	56.0	70.37
60.33	-57.99	40.99	71.02
57.26	-58.35	18.71	61.27
59.78	-46.2	-7.82	46.86
61.68	-37.02	-27.87	46.34
56.81	-20.63	-42.98	47.07
42.98	1.37	-45.05	45.07
28.03	27.03	-46.5	53.78
37.82	48.22	-29.42	56.48
49.41	72.75	-3.76	72.85

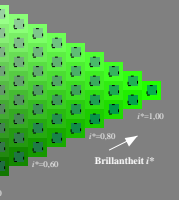
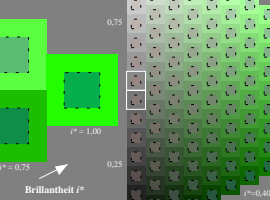
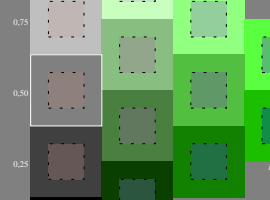
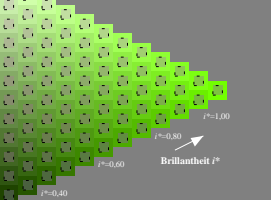
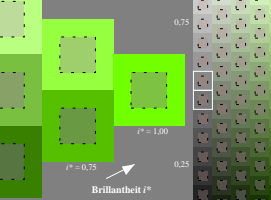
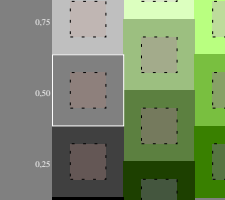


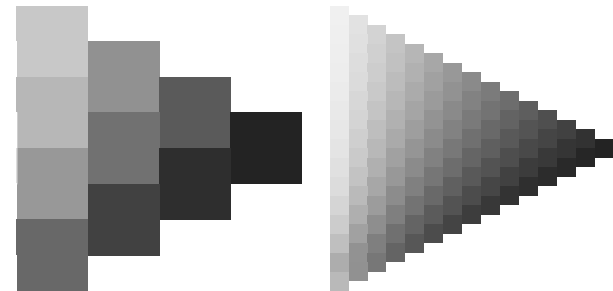
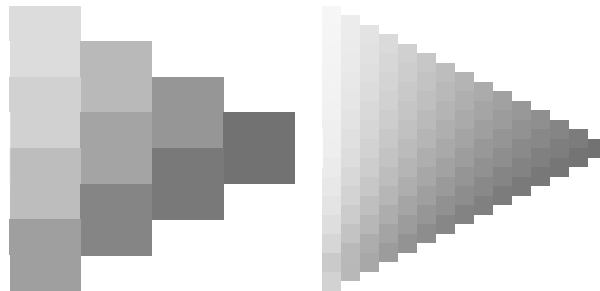
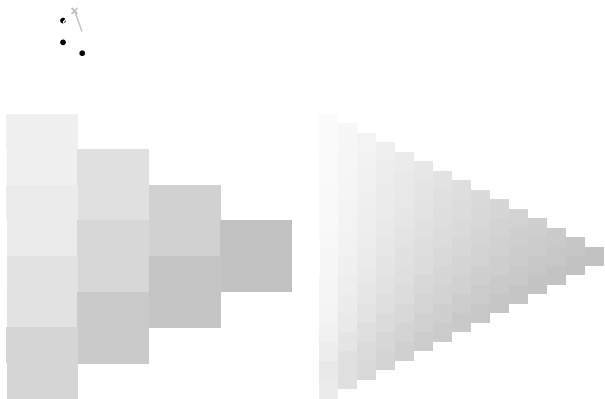
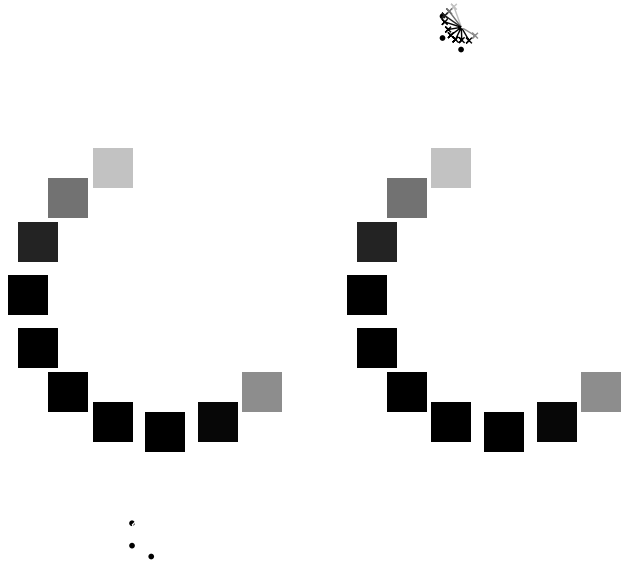
Ein und Ausgabe: Farbmetrisches Drucker-Reflexiv-System ORS22_96, L* = 22_96 für relativen CIELAB-Bauform $h^* = lab^*h^* = h_{90}/360 = 0.254$ $u^*_e = r50g$
Daten für jede Farbe:
 lab^*h^* und lab^*ic^*
Bauformtext:
 $u^*_e = r50g$ $u^*_d = r50j$
Kontrastreduzierungsfaktor:
 $c_R = 1.0$
Dreiecks-Helligkeit I^*

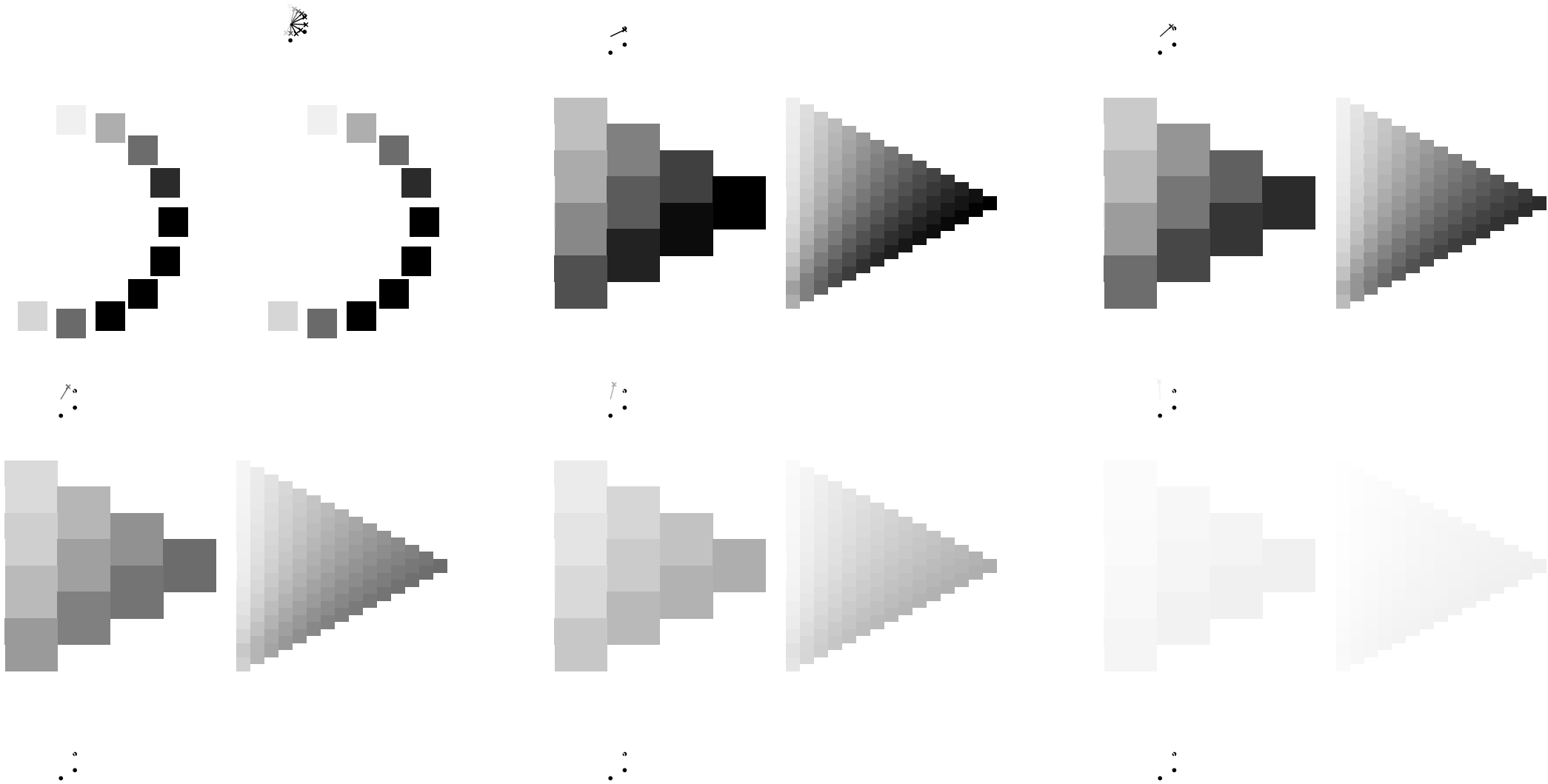
ORS22_96a; adaptierte CIELAB-Daten			
L^*	a^*	b^*	m_{90}
48.89	66.19	40.28	77.48
25.55	53.38	48.38	72.04
65.2	35.87	59.45	69.43
74.97	18.14	70.66	72.95
86.84	-3.4	84.28	84.35
80.13	-25.99	72.23	76.76
69.85	-42.61	56.0	70.37
60.33	-57.99	40.99	71.02
57.26	-58.35	18.71	61.27
59.78	-46.2	-7.82	46.86
61.68	-37.02	-27.87	46.34
56.81	-20.63	-42.98	47.07
42.98	1.37	-45.05	45.07
28.03	27.03	-46.5	53.78
37.82	48.22	-29.42	56.48
49.41	72.75	-3.76	72.85

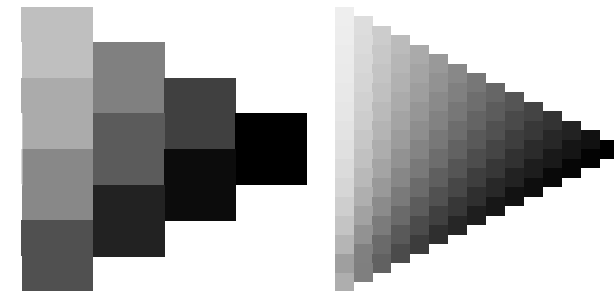
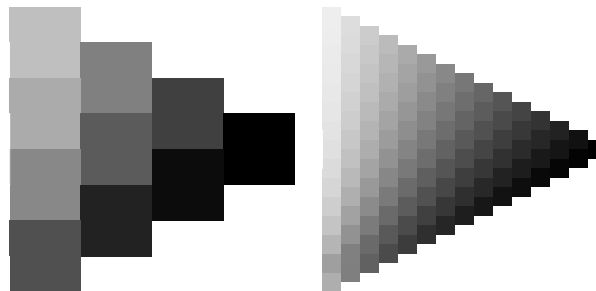
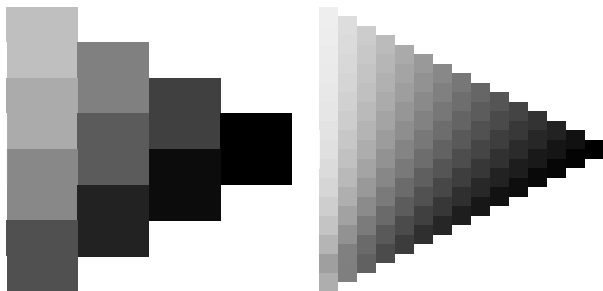
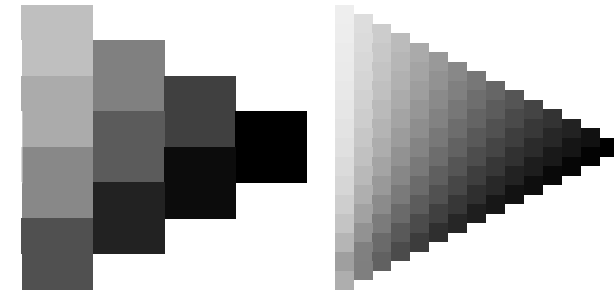
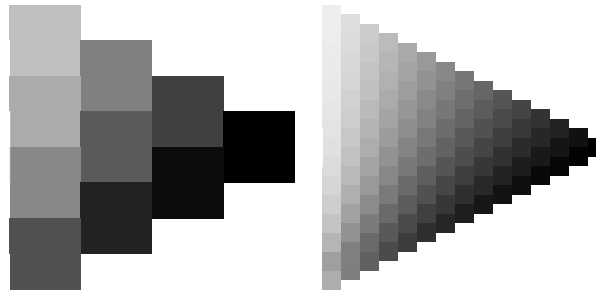
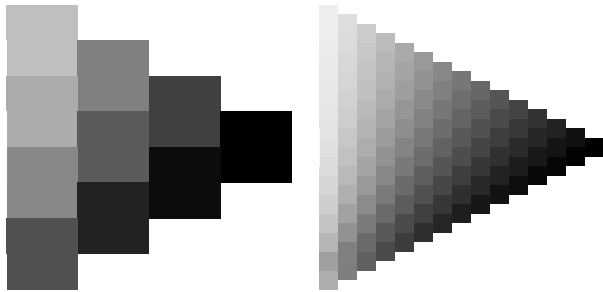
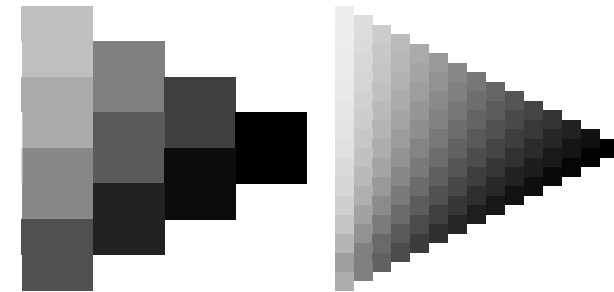
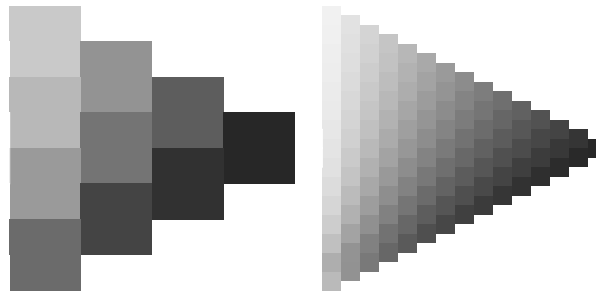
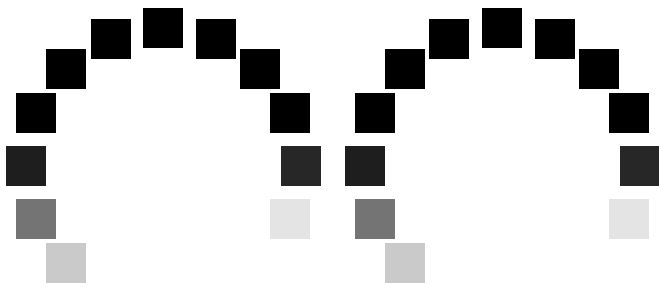


ORS22_96a; adaptierte CIELAB-Daten			
L^*	a^*	b^*	m_{90}
48.89	66.19	40.28	77.48
25.55	53.38	48.38	72.04
65.2	35.87	59.45	69.43
74.97	18.14	70.66	72.95
86.84	-3.4	84.28	84.35
80.13	-25.99	72.23	76.76
69.85	-42.61	56.0	70.37
60.33	-57.99	40.99	71.02
57.26	-58.35	18.71	61.27
59.78	-46.2	-7.82	46.86
61.68	-37.02	-27.87	46.34
56.81	-20.63	-42.98	47.07
42.98	1.37	-45.05	45.07
28.03	27.03	-46.5	53.78
37.82	48.22	-29.42	56.48
49.41	72.75	-3.76	72.85

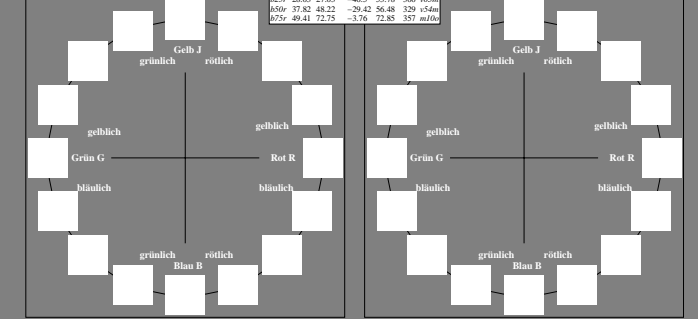




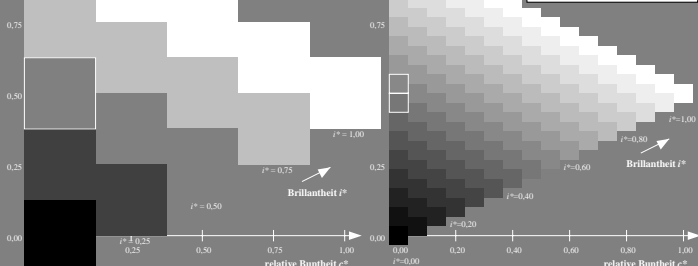




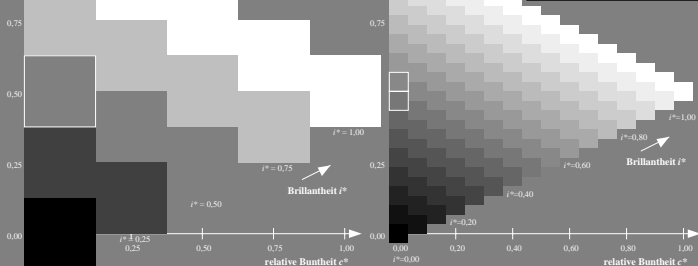
Ein und Ausgabe: Farbmetrisches Drucker-Reflektiv-System ORS22_96
 Daten für jede Farbe: $lab^*l^*a^*$ und $lab^*l^*b^*$
 u^*_e und Nummer $n_r = 00 \dots 15$
 Elementar-Bunttonexte:
 $u^*_e = 16$ Bunttöne $600, 255, \dots, 675r$
 Kontrastreduzierungsfaktor:
 $c_R = 1.0$
 Dreiecks-Helligkeit l^*



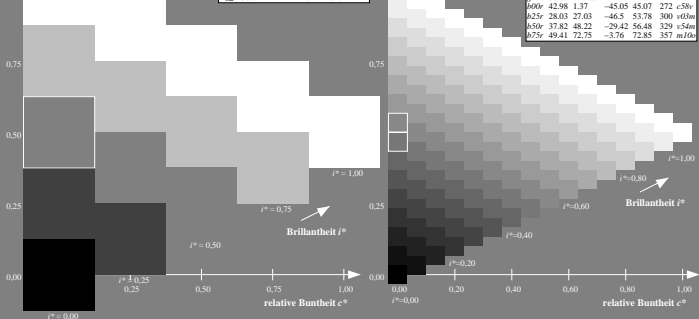
Ein und Ausgabe: Farbmetrisches Drucker-Reflektiv-System ORS22_96, L* = 22.96 für relativen CIELAB-Buntton $h^* = lab^*h^* = h_{360}/360 = 0.164$ $u^*_e = r50$
 Daten für jede Farbe: $lab^*l^*a^*$ und $lab^*l^*b^*$
 Bunttonexte:
 $u^*_e = r50$ $u^*_d = o72$
 Kontrastreduzierungsfaktor:
 $c_R = 1.0$
 Dreiecks-Helligkeit l^*



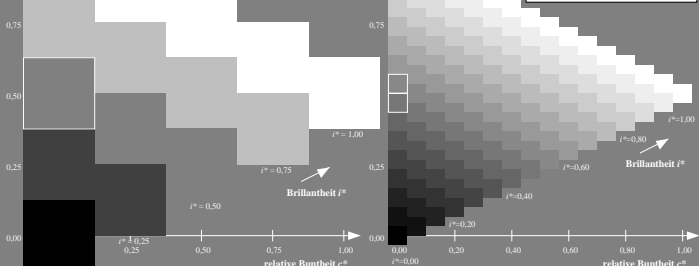
Ein und Ausgabe: Farbmetrisches Drucker-Reflektiv-System ORS22_96, L* = 22.96 für relativen CIELAB-Buntton $h^* = lab^*h^* = h_{360}/360 = 0.256$ $u^*_e = r00g$
 Daten für jede Farbe: $lab^*l^*a^*$ und $lab^*l^*b^*$
 Bunttonexte:
 $u^*_e = r00g$ $u^*_d = o72$
 Kontrastreduzierungsfaktor:
 $c_R = 1.0$
 Dreiecks-Helligkeit l^*



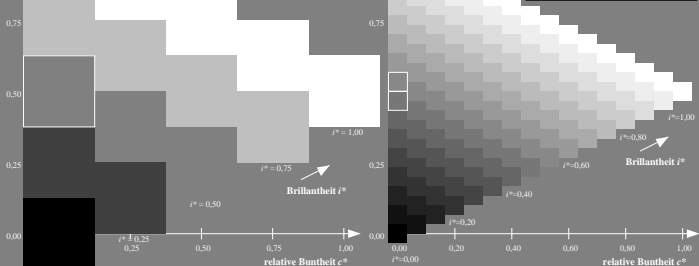
Ein und Ausgabe: Farbmetrisches Drucker-Reflektiv-System ORS22_96, L* = 22.96 für relativen CIELAB-Buntton $h^* = lab^*h^* = h_{360}/360 = 0.071$ $u^*_e = r00$
 Daten für jede Farbe: $lab^*l^*a^*$ und $lab^*l^*b^*$
 Bunttonexte:
 $u^*_e = r00$ $u^*_d = m80$
 Kontrastreduzierungsfaktor:
 $c_R = 1.0$
 Dreiecks-Helligkeit l^*



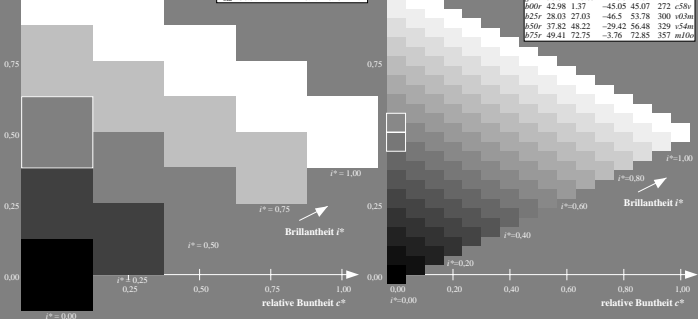
Ein und Ausgabe: Farbmetrisches Drucker-Reflektiv-System ORS22_96, L* = 22.96 für relativen CIELAB-Buntton $h^* = lab^*h^* = h_{360}/360 = 0.21$ $u^*_e = r75j$
 Daten für jede Farbe: $lab^*l^*a^*$ und $lab^*l^*b^*$
 Bunttonexte:
 $u^*_e = r75j$ $u^*_d = o72$
 Kontrastreduzierungsfaktor:
 $c_R = 1.0$
 Dreiecks-Helligkeit l^*



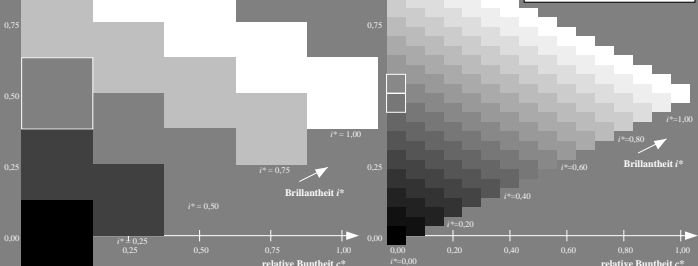
Ein und Ausgabe: Farbmetrisches Drucker-Reflektiv-System ORS22_96, L* = 22.96 für relativen CIELAB-Buntton $h^* = lab^*h^* = h_{360}/360 = 0.354$ $u^*_e = r25g$
 Daten für jede Farbe: $lab^*l^*a^*$ und $lab^*l^*b^*$
 Bunttonexte:
 $u^*_e = r25g$ $u^*_d = o72$
 Kontrastreduzierungsfaktor:
 $c_R = 1.0$
 Dreiecks-Helligkeit l^*



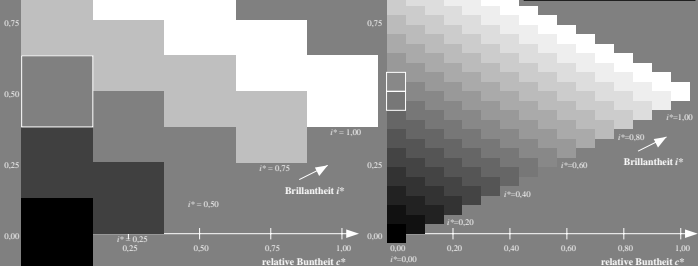
Ein und Ausgabe: Farbmetrisches Drucker-Reflektiv-System ORS22_96, L* = 22.96 für relativen CIELAB-Buntton $h^* = lab^*h^* = h_{360}/360 = 0.117$ $u^*_e = r25j$
 Daten für jede Farbe: $lab^*l^*a^*$ und $lab^*l^*b^*$
 Bunttonexte:
 $u^*_e = r25j$ $u^*_d = o72$
 Kontrastreduzierungsfaktor:
 $c_R = 1.0$
 Dreiecks-Helligkeit l^*



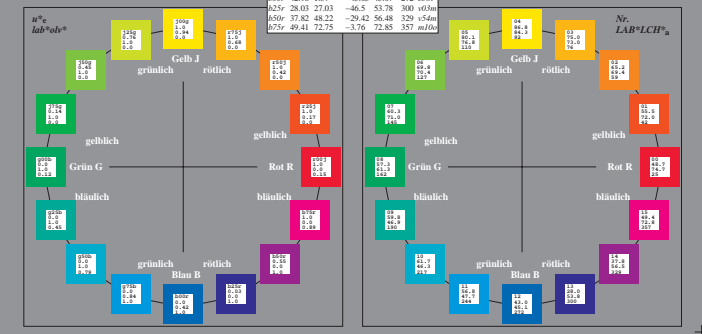
Ein und Ausgabe: Farbmetrisches Drucker-Reflektiv-System ORS22_96, L* = 22.96 für relativen CIELAB-Buntton $h^* = lab^*h^* = h_{360}/360 = 0.0256$ $u^*_e = r00g$
 Daten für jede Farbe: $lab^*l^*a^*$ und $lab^*l^*b^*$
 Bunttonexte:
 $u^*_e = r00g$ $u^*_d = o72$
 Kontrastreduzierungsfaktor:
 $c_R = 1.0$
 Dreiecks-Helligkeit l^*



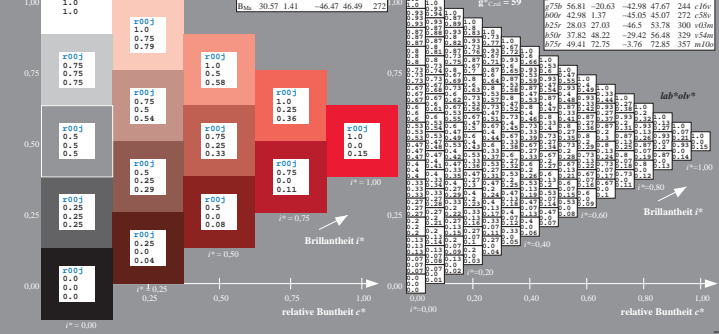
Ein und Ausgabe: Farbmetrisches Drucker-Reflektiv-System ORS22_96, L* = 22.96 für relativen CIELAB-Buntton $h^* = lab^*h^* = h_{360}/360 = 0.402$ $u^*_e = r75j$
 Daten für jede Farbe: $lab^*l^*a^*$ und $lab^*l^*b^*$
 Bunttonexte:
 $u^*_e = r75j$ $u^*_d = o72$
 Kontrastreduzierungsfaktor:
 $c_R = 1.0$
 Dreiecks-Helligkeit l^*



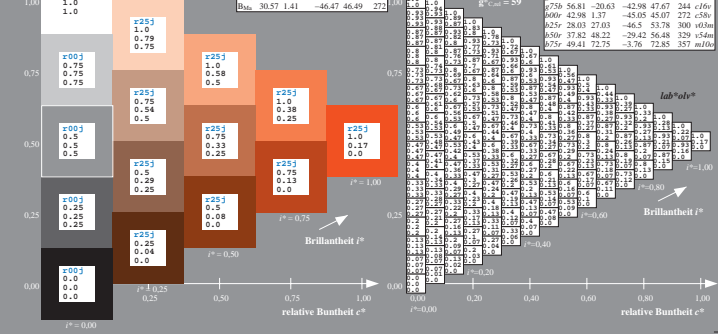
Ein und Ausgabe: Farbmetrisches Drucker-Reflexiv-System ORS22_96a für relatives CIELAB-Buntton $h^* = \text{lab}^*h^* = h_{96}/360 = 0.071$ $u^* = e=00$
 Daten für jede Farbe: lab^*l^* und lab^*a^*
 Bunttonsteinte: $u^* = e=00$ $a^* = m=80$
 Kontrastreduzierungsfaktor: $c_R = 1.0$
 Dreiecks-Helligkeit l^*



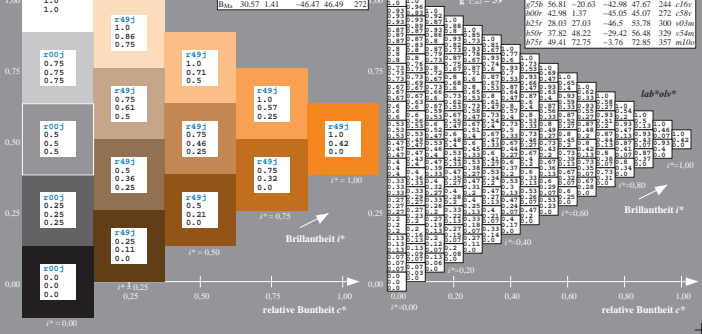
Ein und Ausgabe: Farbmetrisches Drucker-Reflexiv-System ORS22_96 für relatives CIELAB-Buntton $h^* = \text{lab}^*h^* = h_{96}/360 = 0.071$ $u^* = e=00$
 Daten für jede Farbe: lab^*l^* und lab^*a^*
 Bunttonsteinte: $u^* = e=00$ $a^* = m=80$
 Kontrastreduzierungsfaktor: $c_R = 1.0$
 Dreiecks-Helligkeit l^*



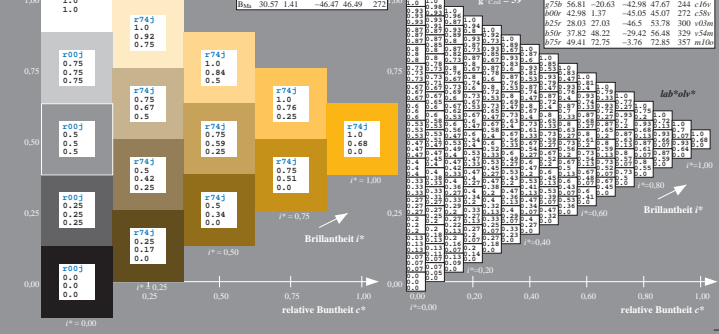
Ein und Ausgabe: Farbmetrisches Drucker-Reflexiv-System ORS22_96 für relatives CIELAB-Buntton $h^* = \text{lab}^*h^* = h_{96}/360 = 0.117$ $u^* = e=25$
 Daten für jede Farbe: lab^*l^* und lab^*a^*
 Bunttonsteinte: $u^* = e=25$ $a^* = m=80$
 Kontrastreduzierungsfaktor: $c_R = 1.0$
 Dreiecks-Helligkeit l^*



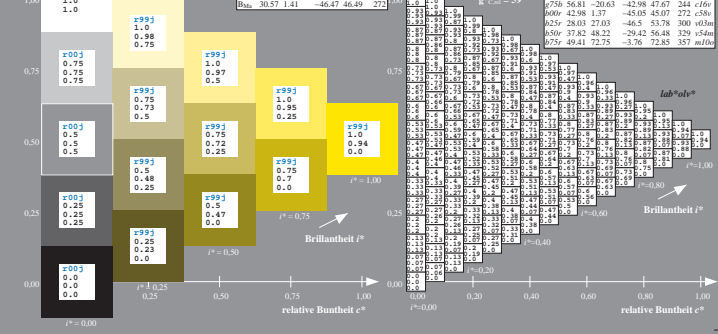
Ein und Ausgabe: Farbmetrisches Drucker-Reflexiv-System ORS22_96 für relatives CIELAB-Buntton $h^* = \text{lab}^*h^* = h_{96}/360 = 0.164$ $u^* = e=50$
 Daten für jede Farbe: lab^*l^* und lab^*a^*
 Bunttonsteinte: $u^* = e=50$ $a^* = m=80$
 Kontrastreduzierungsfaktor: $c_R = 1.0$
 Dreiecks-Helligkeit l^*



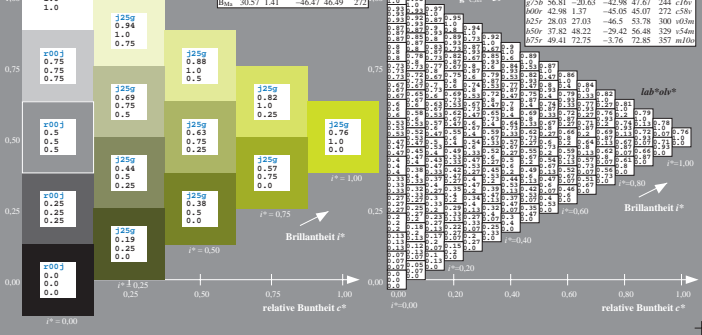
Ein und Ausgabe: Farbmetrisches Drucker-Reflexiv-System ORS22_96 für relatives CIELAB-Buntton $h^* = \text{lab}^*h^* = h_{96}/360 = 0.21$ $u^* = e=75$
 Daten für jede Farbe: lab^*l^* und lab^*a^*
 Bunttonsteinte: $u^* = e=75$ $a^* = m=80$
 Kontrastreduzierungsfaktor: $c_R = 1.0$
 Dreiecks-Helligkeit l^*



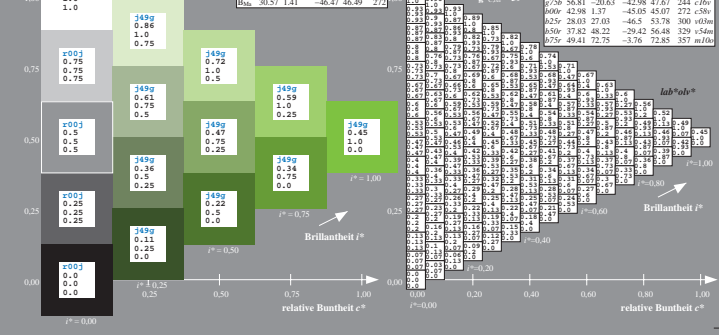
Ein und Ausgabe: Farbmetrisches Drucker-Reflexiv-System ORS22_96 für relatives CIELAB-Buntton $h^* = \text{lab}^*h^* = h_{96}/360 = 0.256$ $u^* = e=100$
 Daten für jede Farbe: lab^*l^* und lab^*a^*
 Bunttonsteinte: $u^* = e=100$ $a^* = m=80$
 Kontrastreduzierungsfaktor: $c_R = 1.0$
 Dreiecks-Helligkeit l^*



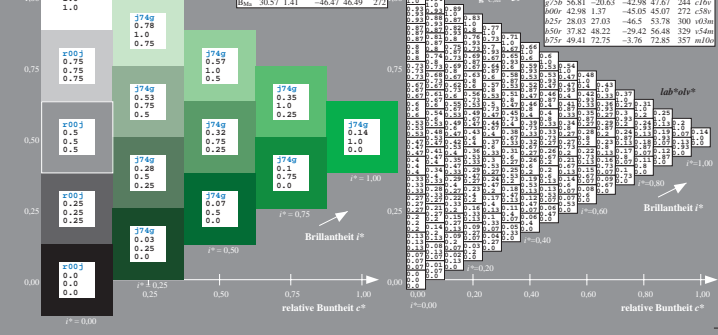
Ein und Ausgabe: Farbmetrisches Drucker-Reflexiv-System ORS22_96 für relatives CIELAB-Buntton $h^* = \text{lab}^*h^* = h_{96}/360 = 0.305$ $u^* = e=25g$
 Daten für jede Farbe: lab^*l^* und lab^*a^*
 Bunttonsteinte: $u^* = e=25g$ $a^* = m=80$
 Kontrastreduzierungsfaktor: $c_R = 1.0$
 Dreiecks-Helligkeit l^*



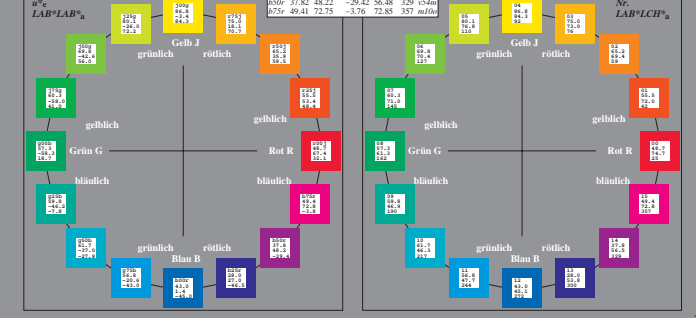
Ein und Ausgabe: Farbmetrisches Drucker-Reflexiv-System ORS22_96 für relatives CIELAB-Buntton $h^* = \text{lab}^*h^* = h_{96}/360 = 0.354$ $u^* = e=50g$
 Daten für jede Farbe: lab^*l^* und lab^*a^*
 Bunttonsteinte: $u^* = e=50g$ $a^* = m=80$
 Kontrastreduzierungsfaktor: $c_R = 1.0$
 Dreiecks-Helligkeit l^*



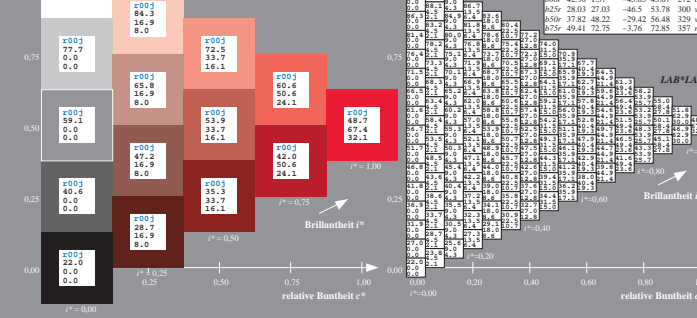
Ein und Ausgabe: Farbmetrisches Drucker-Reflexiv-System ORS22_96 für relatives CIELAB-Buntton $h^* = \text{lab}^*h^* = h_{96}/360 = 0.402$ $u^* = e=75g$
 Daten für jede Farbe: lab^*l^* und lab^*a^*
 Bunttonsteinte: $u^* = e=75g$ $a^* = m=80$
 Kontrastreduzierungsfaktor: $c_R = 1.0$
 Dreiecks-Helligkeit l^*



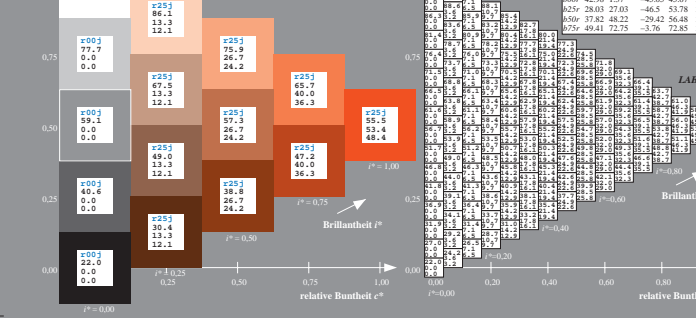
Ein und Ausgabe: Farbmetrisches Drucker-Reflektiv-System ORS22_96a
 Daten für jede Farbe:
 u^*_a und Nummer $N_n = 00 \dots 15$
 Elementar-Bunttonanteile:
 $u^*_R = 16$ Bunttonanteile $0.00; 0.25; \dots; 0.75$
 Kontrastreduzierungsfaktor:
 $c_R = 1.0$



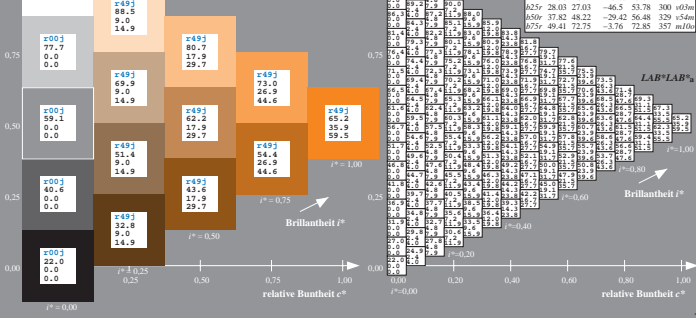
Ein und Ausgabe: Farbmetrisches Drucker-Reflektiv-System ORS22_96, L* = 22_96 für relativen CIELAB-Buntton $h^* = \text{lab}^*h^* = h_{ab}/360 = 0.071$ $u^*_a = 0.00$
 Daten für jede Farbe:
 lab^*l^* und lab^*a^*
 Bunttonanteile:
 $u^*_R = 0.00$ $u^*_G = 0.00$ $u^*_B = 0.00$
 Kontrastreduzierungsfaktor:
 $c_R = 1.0$
 Dreiecks-Helligkeit l^*



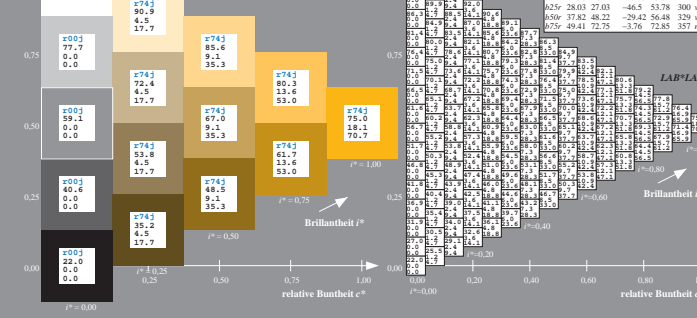
Ein und Ausgabe: Farbmetrisches Drucker-Reflektiv-System ORS22_96, L* = 22_96 für relativen CIELAB-Buntton $h^* = \text{lab}^*h^* = h_{ab}/360 = 0.117$ $u^*_a = 0.25$
 Daten für jede Farbe:
 lab^*l^* und lab^*a^*
 Bunttonanteile:
 $u^*_R = 0.25$ $u^*_G = 0.00$ $u^*_B = 0.00$
 Kontrastreduzierungsfaktor:
 $c_R = 1.0$
 Dreiecks-Helligkeit l^*



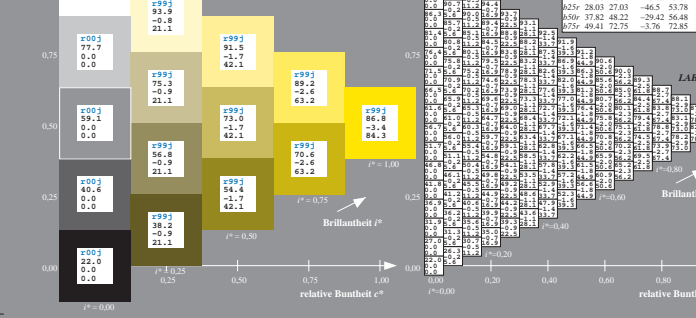
Ein und Ausgabe: Farbmetrisches Drucker-Reflektiv-System ORS22_96, L* = 22_96 für relativen CIELAB-Buntton $h^* = \text{lab}^*h^* = h_{ab}/360 = 0.164$ $u^*_a = 0.50$
 Daten für jede Farbe:
 lab^*l^* und lab^*a^*
 Bunttonanteile:
 $u^*_R = 0.50$ $u^*_G = 0.00$ $u^*_B = 0.00$
 Kontrastreduzierungsfaktor:
 $c_R = 1.0$
 Dreiecks-Helligkeit l^*



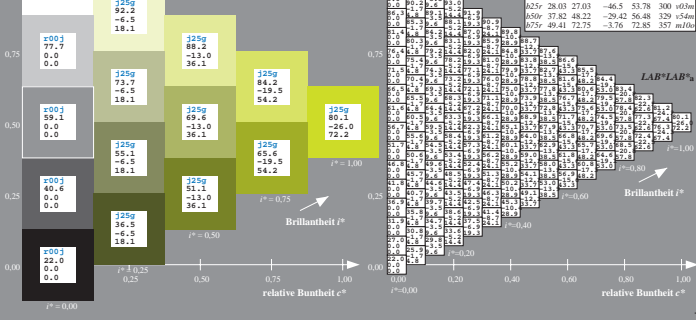
Ein und Ausgabe: Farbmetrisches Drucker-Reflektiv-System ORS22_96, L* = 22_96 für relativen CIELAB-Buntton $h^* = \text{lab}^*h^* = h_{ab}/360 = 0.21$ $u^*_a = 0.75$
 Daten für jede Farbe:
 lab^*l^* und lab^*a^*
 Bunttonanteile:
 $u^*_R = 0.75$ $u^*_G = 0.00$ $u^*_B = 0.00$
 Kontrastreduzierungsfaktor:
 $c_R = 1.0$
 Dreiecks-Helligkeit l^*



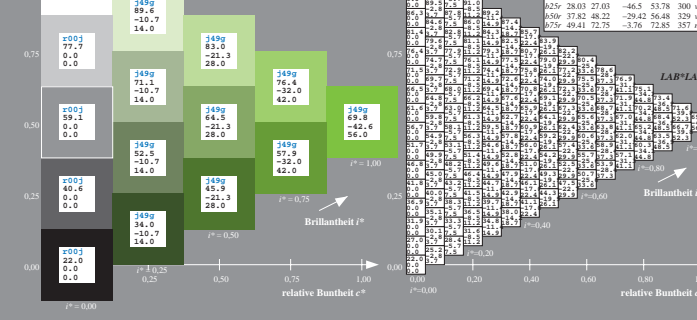
Ein und Ausgabe: Farbmetrisches Drucker-Reflektiv-System ORS22_96, L* = 22_96 für relativen CIELAB-Buntton $h^* = \text{lab}^*h^* = h_{ab}/360 = 0.256$ $u^*_a = 0.00$
 Daten für jede Farbe:
 lab^*l^* und lab^*a^*
 Bunttonanteile:
 $u^*_R = 0.00$ $u^*_G = 0.00$ $u^*_B = 0.00$
 Kontrastreduzierungsfaktor:
 $c_R = 1.0$
 Dreiecks-Helligkeit l^*



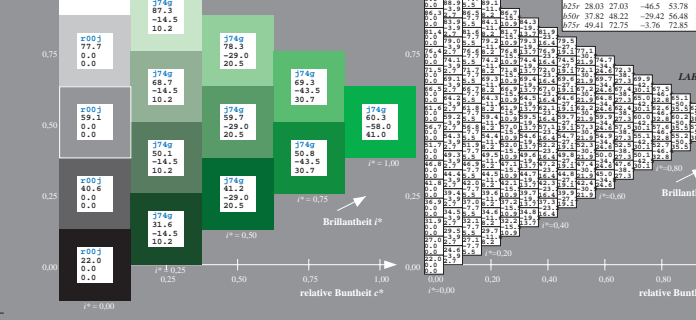
Ein und Ausgabe: Farbmetrisches Drucker-Reflektiv-System ORS22_96, L* = 22_96 für relativen CIELAB-Buntton $h^* = \text{lab}^*h^* = h_{ab}/360 = 0.305$ $u^*_a = 0.25$
 Daten für jede Farbe:
 lab^*l^* und lab^*a^*
 Bunttonanteile:
 $u^*_R = 0.25$ $u^*_G = 0.00$ $u^*_B = 0.00$
 Kontrastreduzierungsfaktor:
 $c_R = 0.24$
 Dreiecks-Helligkeit l^*



Ein und Ausgabe: Farbmetrisches Drucker-Reflektiv-System ORS22_96, L* = 22_96 für relativen CIELAB-Buntton $h^* = \text{lab}^*h^* = h_{ab}/360 = 0.354$ $u^*_a = 0.50$
 Daten für jede Farbe:
 lab^*l^* und lab^*a^*
 Bunttonanteile:
 $u^*_R = 0.50$ $u^*_G = 0.00$ $u^*_B = 0.00$
 Kontrastreduzierungsfaktor:
 $c_R = 0.55$
 Dreiecks-Helligkeit l^*



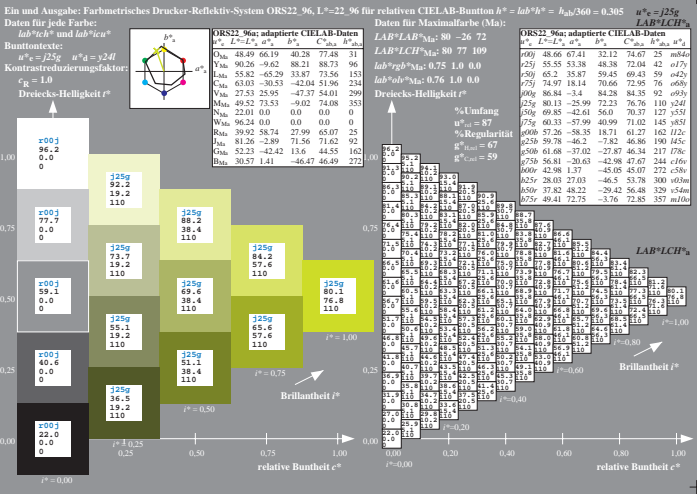
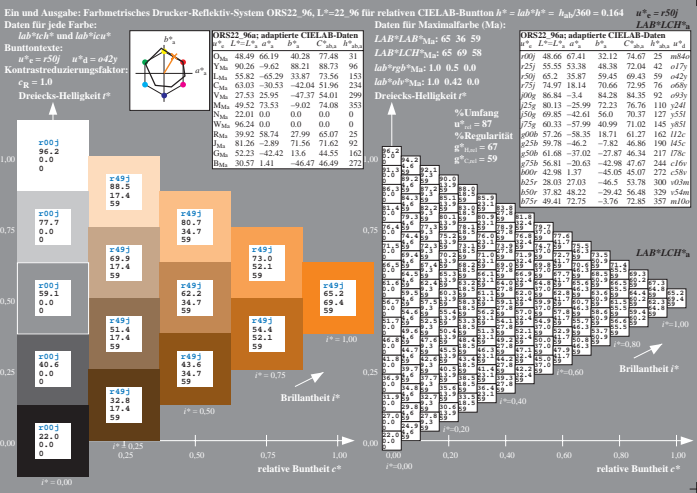
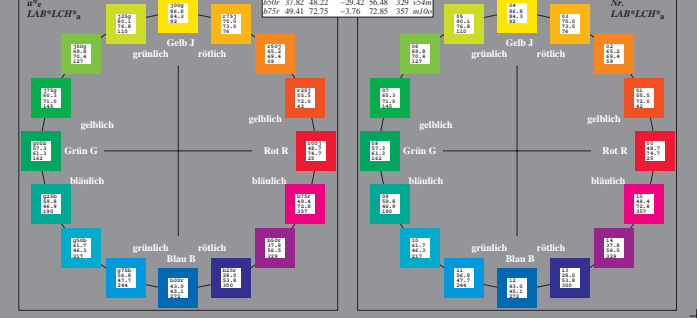
Ein und Ausgabe: Farbmetrisches Drucker-Reflektiv-System ORS22_96, L* = 22_96 für relativen CIELAB-Buntton $h^* = \text{lab}^*h^* = h_{ab}/360 = 0.402$ $u^*_a = 0.75$
 Daten für jede Farbe:
 lab^*l^* und lab^*a^*
 Bunttonanteile:
 $u^*_R = 0.75$ $u^*_G = 0.00$ $u^*_B = 0.00$
 Kontrastreduzierungsfaktor:
 $c_R = 0.81$
 Dreiecks-Helligkeit l^*



Ein und Ausgabe: Farbmetrisches Drucker-Reflexiv-System ORS22_96a
 Daten für jede Farbe:
 u^*_e und Nummer Nr. = 00...15
 Elementar-Bunttonen:
 $u^*_e = 255$ für Bunttonen 001...b75r
 Kontrastreduzierungs-faktor:
 $c_R = 1.0$

ORS22_96a: adaptierte CIELAB-Daten
 L^* , a^* , b^* , C_{ab}^* , h_{ab}^* , m^* , n^*
 Ym: 48.69 66.19 40.28 77.48 31
 Ya: 90.26 -9.62 88.21 88.73 96
 Yb: 55.82 -65.29 33.87 73.56 153
 Yc: 63.03 -30.53 -42.04 51.96 234
 Ym: 27.53 25.95 -47.37 54.01 299
 Yc: 49.52 73.53 -9.02 74.08 353
 Ym: 22.01 0.0 0.0 0.0 0
 Yb: 96.24 0.0 0.0 0.0 0
 Yc: 39.02 58.74 27.99 65.07 25
 Ym: 81.26 -2.89 71.56 71.62 92
 Yc: 52.23 -42.42 13.6 44.55 162
 Yb: 30.57 1.41 -46.47 46.49 272

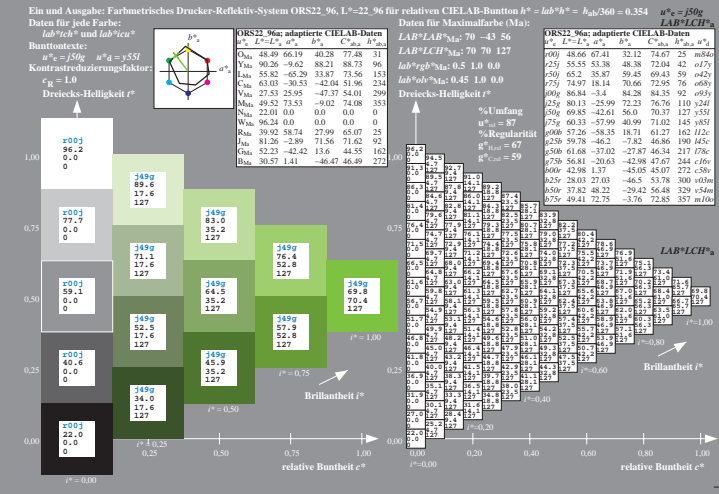
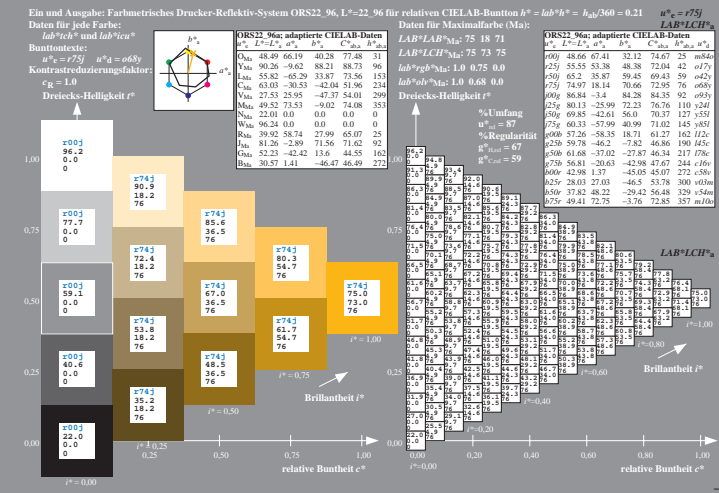
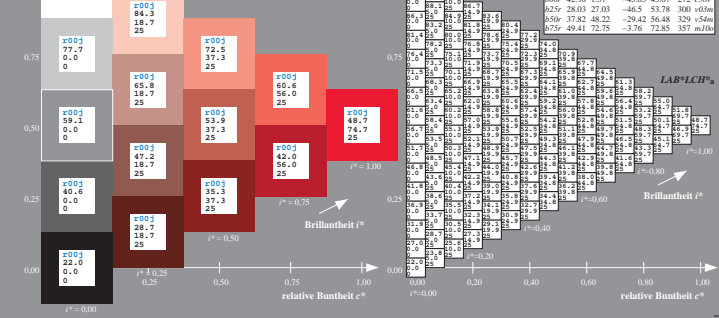
LAB*LAB*_{Max}: 65 69 58
 Lab*Lab*_{Max}: 1.0 0.5 0.0
 Dreiecks-Helligkeit I^*
 %Umfang $u^*_e = 87$
 %Regulärheit $u^*_e = 59$
 % $u^*_e = 59$



Ein und Ausgabe: Farbmetrisches Drucker-Reflexiv-System ORS22_96, L* = 22...96 für relativen CIELAB-Buntton $h^* = \text{lab}^*h^* = h_{ab}^*/360 = 0.071$ $u^*_e = 255$
 Daten für jede Farbe:
 u^*_e und lab^*h^* und lab^*c^*
 Bunttonen:
 $u^*_e = 255$ für Bunttonen 001...b75r
 Kontrastreduzierungs-faktor:
 $c_R = 1.0$

ORS22_96a: adaptierte CIELAB-Daten
 L^* , a^* , b^* , C_{ab}^* , h_{ab}^* , m^* , n^*
 Ym: 48.69 66.19 40.28 77.48 31
 Ya: 90.26 -9.62 88.21 88.73 96
 Yb: 55.82 -65.29 33.87 73.56 153
 Yc: 63.03 -30.53 -42.04 51.96 234
 Ym: 27.53 25.95 -47.37 54.01 299
 Yc: 49.52 73.53 -9.02 74.08 353
 Ym: 22.01 0.0 0.0 0.0 0
 Yb: 96.24 0.0 0.0 0.0 0
 Yc: 39.02 58.74 27.99 65.07 25
 Ym: 81.26 -2.89 71.56 71.62 92
 Yc: 52.23 -42.42 13.6 44.55 162
 Yb: 30.57 1.41 -46.47 46.49 272

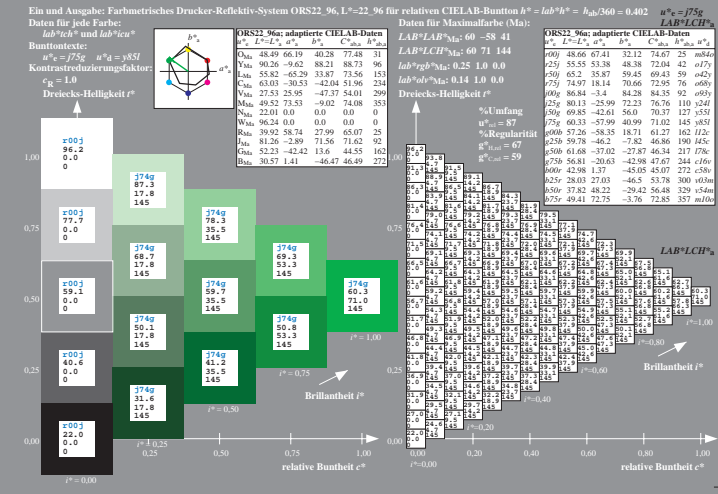
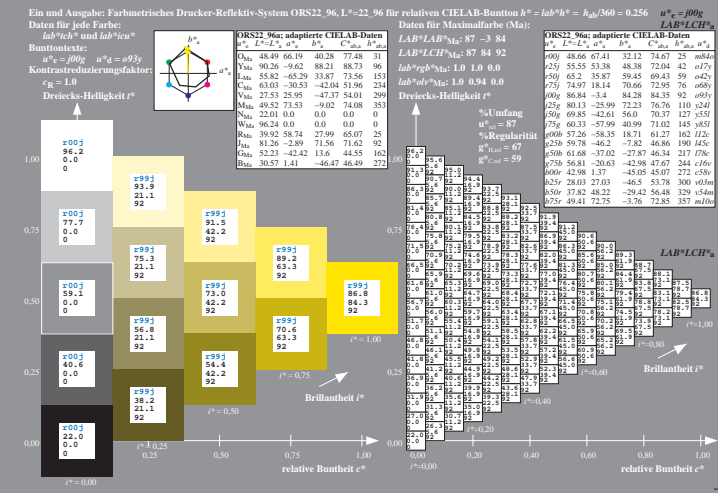
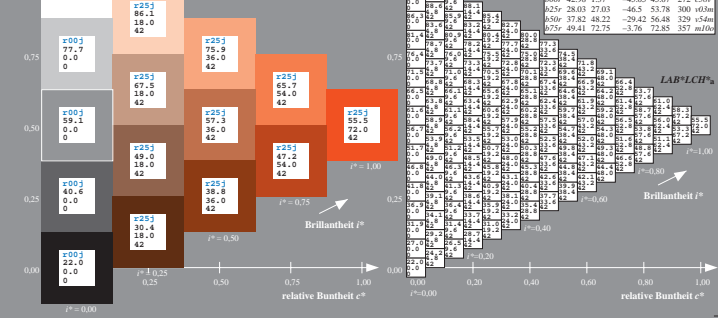
LAB*LAB*_{Max}: 49 67 23
 Lab*Lab*_{Max}: 0.75 75 25
 Dreiecks-Helligkeit I^*
 %Umfang $u^*_e = 67$
 %Regulärheit $u^*_e = 59$
 % $u^*_e = 59$



Ein und Ausgabe: Farbmetrisches Drucker-Reflexiv-System ORS22_96, L* = 22...96 für relativen CIELAB-Buntton $h^* = \text{lab}^*h^* = h_{ab}^*/360 = 0.117$ $u^*_e = 255$
 Daten für jede Farbe:
 u^*_e und lab^*h^* und lab^*c^*
 Bunttonen:
 $u^*_e = 255$ für Bunttonen 001...b75r
 Kontrastreduzierungs-faktor:
 $c_R = 1.0$

ORS22_96a: adaptierte CIELAB-Daten
 L^* , a^* , b^* , C_{ab}^* , h_{ab}^* , m^* , n^*
 Ym: 48.69 66.19 40.28 77.48 31
 Ya: 90.26 -9.62 88.21 88.73 96
 Yb: 55.82 -65.29 33.87 73.56 153
 Yc: 63.03 -30.53 -42.04 51.96 234
 Ym: 27.53 25.95 -47.37 54.01 299
 Yc: 49.52 73.53 -9.02 74.08 353
 Ym: 22.01 0.0 0.0 0.0 0
 Yb: 96.24 0.0 0.0 0.0 0
 Yc: 39.02 58.74 27.99 65.07 25
 Ym: 81.26 -2.89 71.56 71.62 92
 Yc: 52.23 -42.42 13.6 44.55 162
 Yb: 30.57 1.41 -46.47 46.49 272

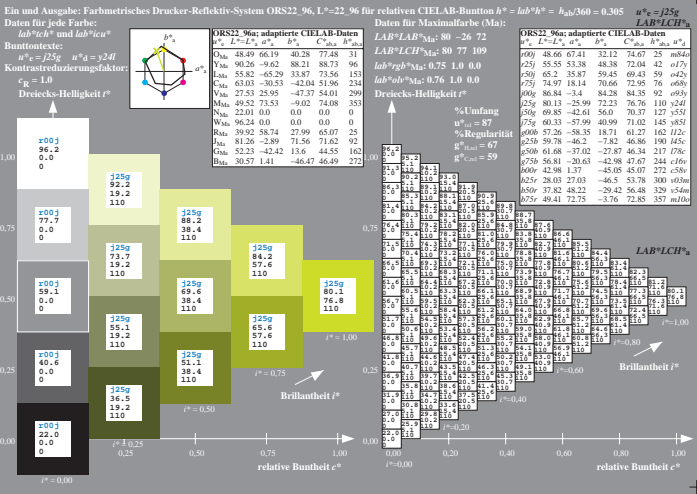
LAB*LAB*_{Max}: 56 53 48
 Lab*Lab*_{Max}: 56 72 42
 Dreiecks-Helligkeit I^*
 %Umfang $u^*_e = 87$
 %Regulärheit $u^*_e = 59$
 % $u^*_e = 59$



Ein und Ausgabe: Farbmetrisches Drucker-Reflexiv-System ORS22_96, L* = 22...96 für relativen CIELAB-Buntton $h^* = \text{lab}^*h^* = h_{ab}^*/360 = 0.164$ $u^*_e = 255$
 Daten für jede Farbe:
 u^*_e und lab^*h^* und lab^*c^*
 Bunttonen:
 $u^*_e = 255$ für Bunttonen 001...b75r
 Kontrastreduzierungs-faktor:
 $c_R = 1.0$

ORS22_96a: adaptierte CIELAB-Daten
 L^* , a^* , b^* , C_{ab}^* , h_{ab}^* , m^* , n^*
 Ym: 48.69 66.19 40.28 77.48 31
 Ya: 90.26 -9.62 88.21 88.73 96
 Yb: 55.82 -65.29 33.87 73.56 153
 Yc: 63.03 -30.53 -42.04 51.96 234
 Ym: 27.53 25.95 -47.37 54.01 299
 Yc: 49.52 73.53 -9.02 74.08 353
 Ym: 22.01 0.0 0.0 0.0 0
 Yb: 96.24 0.0 0.0 0.0 0
 Yc: 39.02 58.74 27.99 65.07 25
 Ym: 81.26 -2.89 71.56 71.62 92
 Yc: 52.23 -42.42 13.6 44.55 162
 Yb: 30.57 1.41 -46.47 46.49 272

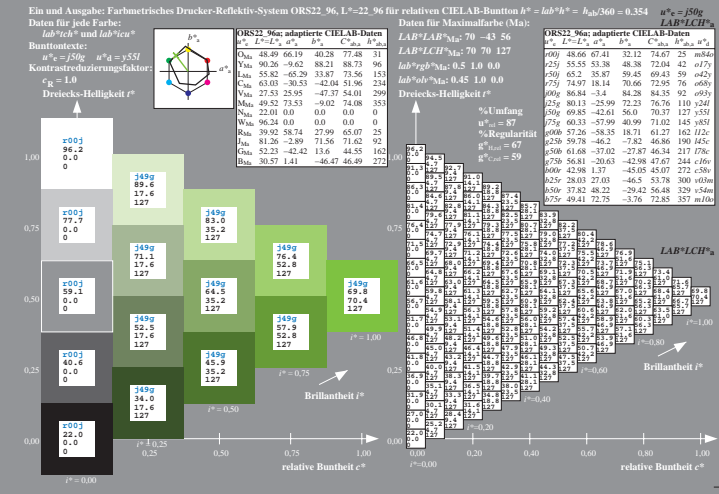
LAB*LAB*_{Max}: 65 69 58
 Lab*Lab*_{Max}: 1.0 0.4 0.0
 Dreiecks-Helligkeit I^*
 %Umfang $u^*_e = 87$
 %Regulärheit $u^*_e = 59$
 % $u^*_e = 59$



Ein und Ausgabe: Farbmetrisches Drucker-Reflexiv-System ORS22_96, L* = 22...96 für relativen CIELAB-Buntton $h^* = \text{lab}^*h^* = h_{ab}^*/360 = 0.21$ $u^*_e = 255$
 Daten für jede Farbe:
 u^*_e und lab^*h^* und lab^*c^*
 Bunttonen:
 $u^*_e = 255$ für Bunttonen 001...b75r
 Kontrastreduzierungs-faktor:
 $c_R = 1.0$

ORS22_96a: adaptierte CIELAB-Daten
 L^* , a^* , b^* , C_{ab}^* , h_{ab}^* , m^* , n^*
 Ym: 48.69 66.19 40.28 77.48 31
 Ya: 90.26 -9.62 88.21 88.73 96
 Yb: 55.82 -65.29 33.87 73.56 153
 Yc: 63.03 -30.53 -42.04 51.96 234
 Ym: 27.53 25.95 -47.37 54.01 299
 Yc: 49.52 73.53 -9.02 74.08 353
 Ym: 22.01 0.0 0.0 0.0 0
 Yb: 96.24 0.0 0.0 0.0 0
 Yc: 39.02 58.74 27.99 65.07 25
 Ym: 81.26 -2.89 71.56 71.62 92
 Yc: 52.23 -42.42 13.6 44.55 162
 Yb: 30.57 1.41 -46.47 46.49 272

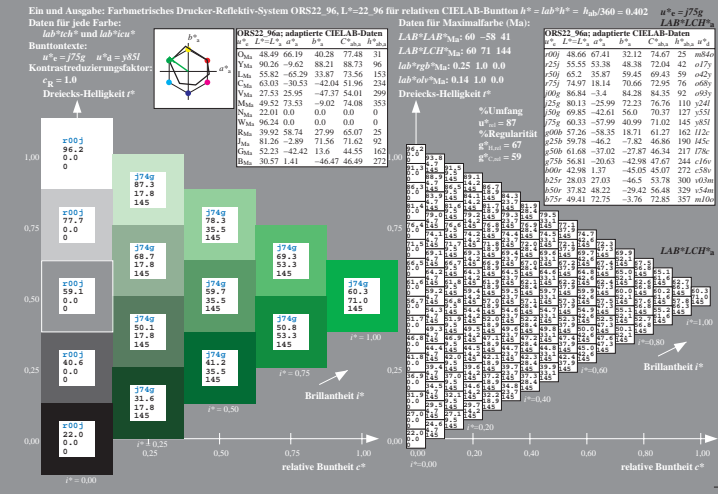
LAB*LAB*_{Max}: 75 75 75
 Lab*Lab*_{Max}: 1.0 0.75 0.0
 Dreiecks-Helligkeit I^*
 %Umfang $u^*_e = 87$
 %Regulärheit $u^*_e = 59$
 % $u^*_e = 59$



Ein und Ausgabe: Farbmetrisches Drucker-Reflexiv-System ORS22_96, L* = 22...96 für relativen CIELAB-Buntton $h^* = \text{lab}^*h^* = h_{ab}^*/360 = 0.256$ $u^*_e = 255$
 Daten für jede Farbe:
 u^*_e und lab^*h^* und lab^*c^*
 Bunttonen:
 $u^*_e = 255$ für Bunttonen 001...b75r
 Kontrastreduzierungs-faktor:
 $c_R = 1.0$

ORS22_96a: adaptierte CIELAB-Daten
 L^* , a^* , b^* , C_{ab}^* , h_{ab}^* , m^* , n^*
 Ym: 48.69 66.19 40.28 77.48 31
 Ya: 90.26 -9.62 88.21 88.73 96
 Yb: 55.82 -65.29 33.87 73.56 153
 Yc: 63.03 -30.53 -42.04 51.96 234
 Ym: 27.53 25.95 -47.37 54.01 299
 Yc: 49.52 73.53 -9.02 74.08 353
 Ym: 22.01 0.0 0.0 0.0 0
 Yb: 96.24 0.0 0.0 0.0 0
 Yc: 39.02 58.74 27.99 65.07 25
 Ym: 81.26 -2.89 71.56 71.62 92
 Yc: 52.23 -42.42 13.6 44.55 162
 Yb: 30.57 1.41 -46.47 46.49 272

LAB*LAB*_{Max}: 87 84 92
 Lab*Lab*_{Max}: 1.0 1.0 0.0
 Dreiecks-Helligkeit I^*
 %Umfang $u^*_e = 87$
 %Regulärheit $u^*_e = 59$
 % $u^*_e = 59$



Ein und Ausgabe: Farbmetrisches Drucker-Reflexiv-System ORS22_96, L* = 22...96 für relativen CIELAB-Buntton $h^* = \text{lab}^*h^* = h_{ab}^*/360 = 0.305$ $u^*_e = 255$
 Daten für jede Farbe:
 u^*_e und lab^*h^* und lab^*c^*
 Bunttonen:
 $u^*_e = 255$ für Bunttonen 001...b75r
 Kontrastreduzierungs-faktor:
 $c_R = 1.0$

ORS22_96a: adaptierte CIELAB-Daten
 L^* , a^* , b^* , C_{ab}^* , h_{ab}^* , m^* , n^*
 Ym: 48.69 66.19 40.28 77.48 31
 Ya: 90.26 -9.62 88.21 88.73 96
 Yb: 55.82 -65.29 33.87 73.56 153
 Yc: 63.03 -30.53 -42.04 51.96 234
 Ym: 27.53 25.95 -47.37 54.01 299
 Yc: 49.52 73.53 -9.02 74.08 353
 Ym: 22.01 0.0 0.0 0.0 0
 Yb: 96.24 0.0 0.0 0.0 0
 Yc: 39.02 58.74 27.99 65.07 25
 Ym: 81.26 -2.89 71.56 71.62 92
 Yc: 52.23 -42.42 13.6 44.55 162
 Yb: 30.57 1.41 -46.47 46.49 272

LAB*LAB*_{Max}: 80 77 109
 Lab*Lab*_{Max}: 0.75 1.0 0.0
 Dreiecks-Helligkeit I^*
 %Umfang $u^*_e = 87$
 %Regulärheit $u^*_e = 59$
 % $u^*_e = 59$

Ein und Ausgabe: Farbmetrisches Drucker-Reflexiv-System ORS22_96, L* = 22...96 für relativen CIELAB-Buntton $h^* = \text{lab}^*h^* = h_{ab}^*/360 = 0.354$ $u^*_e = 255$
 Daten für jede Farbe:
 u^*_e und lab^*h^* und lab^*c^*
 Bunttonen:
 $u^*_e = 255$ für Bunttonen 001...b75r
 Kontrastreduzierungs-faktor:
 $c_R = 1.0$

ORS22_96a: adaptierte CIELAB-Daten
 L^* , a^* , b^* , C_{ab}^* , h_{ab}^* , m^* , n^*
 Ym: 48.69 66.19 40.28 77.48 31
 Ya: 90.26 -9.62 88.21 88.73 96
 Yb: 55.82 -65.29 33.87 73.56 153
 Yc: 63.03 -30.53 -42.04 51.96 234
 Ym: 27.53 25.95 -47.37 54.01 299
 Yc: 49.52 73.53 -9.02 74.08 353
 Ym: 22.01 0.0 0.0 0.0 0
 Yb: 96.24 0.0 0.0 0.0 0
 Yc: 39.02 58.74 27.99 65.07 25
 Ym: 81.26 -2.89 71.56 71.62 92
 Yc: 52.23 -42.42 13.6 44.55 162
 Yb: 30.57 1.41 -46.47 46.49 272

LAB*LAB*_{Max}: 70 70 127
 Lab*Lab*_{Max}: 0.5 1.0 0.0
 Dreiecks-Helligkeit I^*
 %Umfang $u^*_e = 87$
 %Regulärheit $u^*_e = 59$
 % $u^*_e = 59$

Ein und Ausgabe: Farbmetrisches Drucker-Reflexiv-System ORS22_96, L* = 22...96 für relativen CIELAB-Buntton $h^* = \text{lab}^*h^* = h_{ab}^*/360 = 0.402$ $u^*_e = 255$
 Daten für jede Farbe:
 u^*_e und lab^*h^* und lab^*c^*
 Bunttonen:
 $u^*_e = 255$ für Bunttonen 001...b75r
 Kontrastreduzierungs-faktor:
 $c_R = 1.0$

ORS22_96a: adaptierte CIELAB-Daten
 L^* , a^* , b^* , C_{ab}^* , h_{ab}^* , m^* , n^*
 Ym: 48.69 66.19 40.28 77.48 31
 Ya: 90.26 -9.62 88.21 88.73 96
 Yb: 55.82 -65.29 33.87 73.56 153
 Yc: 63.03 -30.53 -42.04 51.96 234
 Ym: 27.53 25.95 -47.37 54.01 299
 Yc: 49.52 73.53 -9.02 74.08 353
 Ym: 22.01 0.0 0.0 0.0 0
 Yb: 96.24 0.0 0.0 0.0 0
 Yc: 39.02 58.74 27.99 65.07 25
 Ym: 81.26 -2.89 71.56 71.62 92
 Yc: 52.23 -42.42 13.6 44.55 162
 Yb: 30.57 1.41 -46.47 46.49 272

LAB*LAB*_{Max}: 60 71 144
 Lab*Lab*_{Max}: 0.25 1.0 0.0
 Dreiecks-Helligkeit I^*
 %Umfang $u^*_e = 87$
 %Regulärheit $u^*_e = 59$
 % $u^*_e = 59$

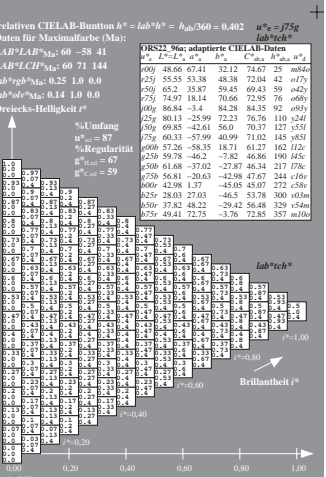
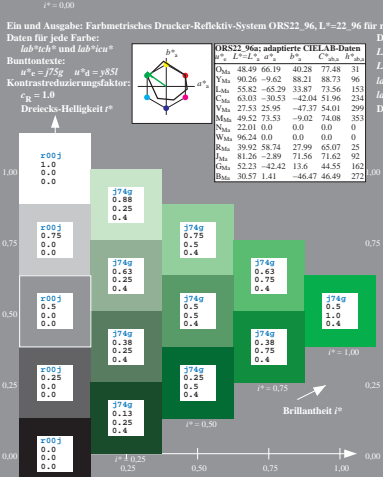
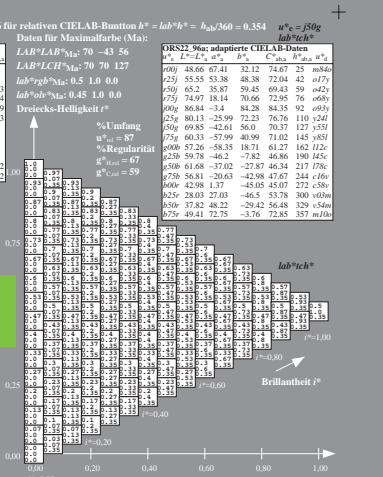
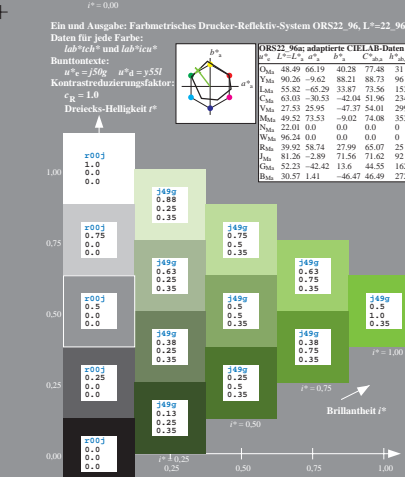
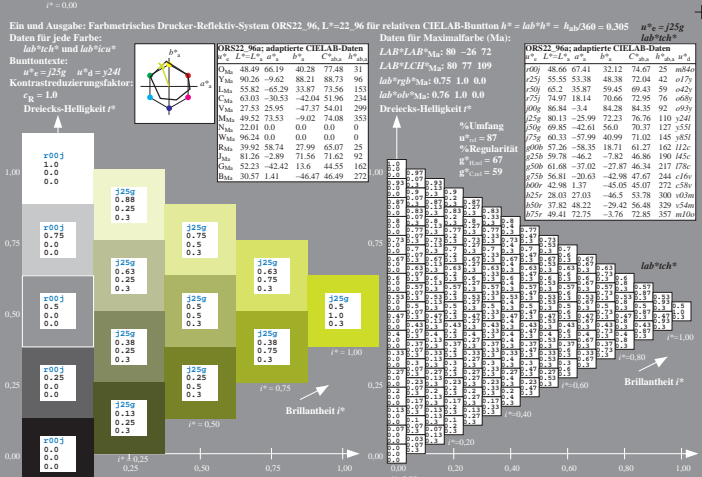
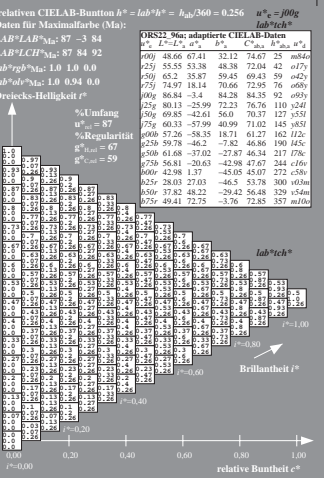
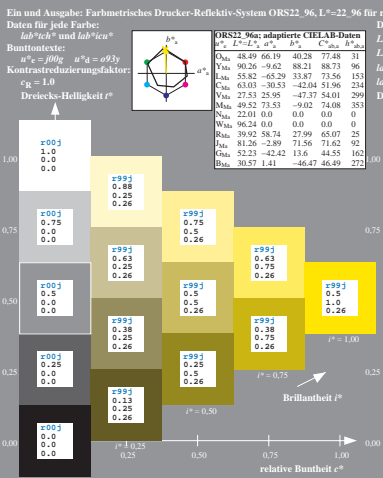
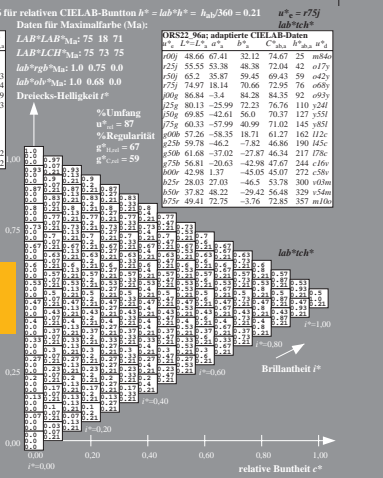
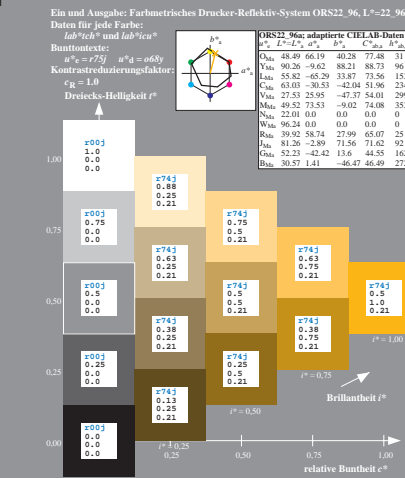
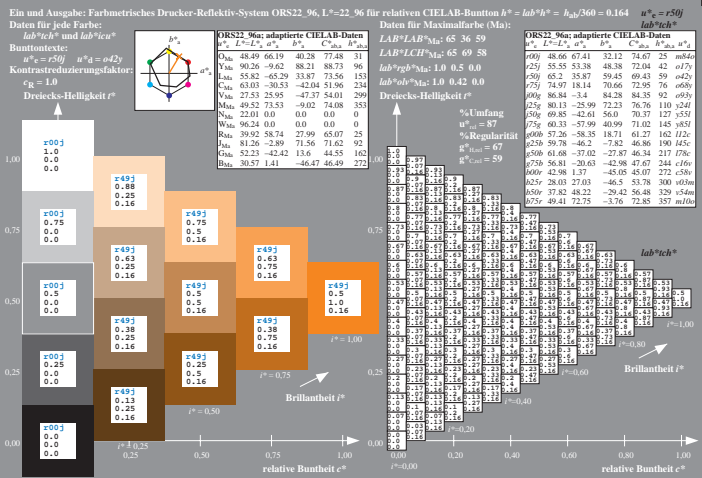
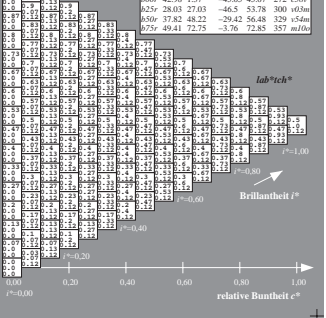
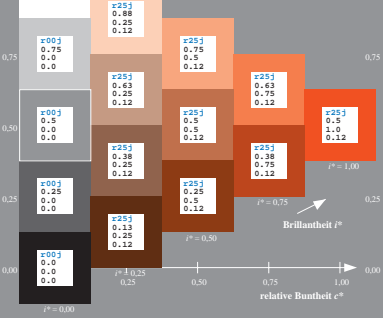
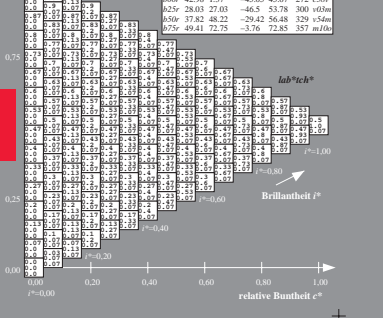
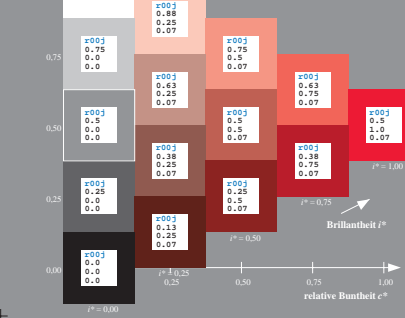
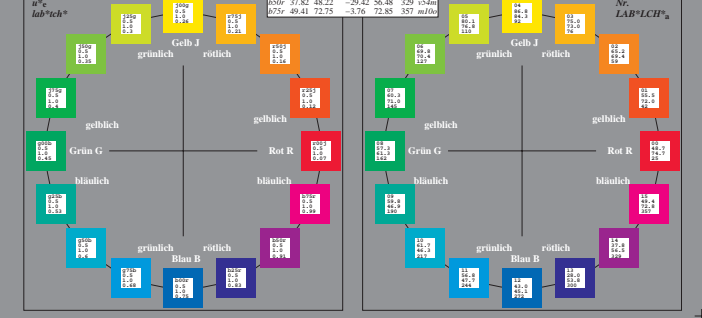
Ein und Ausgabe: Farbmetrisches Drucker-Reflexiv-System ORS22_96a
 Daten für jede Farbe: lab^*c^*h und $lab^*u^*v^*$
 u^* und Nummer Nr. = 00...15
 Elementar-Bunttonstext:
 $u^*_R = 16$ Bunttonen 00j, 25j, ..., b75r
 Kontrastreduzierungsfaktor:
 $c_R = 1.0$

Ein und Ausgabe: Farbmetrisches Drucker-Reflexiv-System ORS22_96, L* = 22_96 für relative CIELAB-Buntton $h^* = lab^*h^* = h_{ab}/360 = 0.071$ $u^*_R = e=90j$
 Daten für jede Farbe: lab^*c^*h und $lab^*u^*v^*$
 Bunttonstext:
 $u^*_R = e=90j$ $u^*_d = m84r$
 Kontrastreduzierungsfaktor:
 $c_R = 1.0$
 Dreiecks-Helligkeit I^*

Ein und Ausgabe: Farbmetrisches Drucker-Reflexiv-System ORS22_96, L* = 22_96 für relative CIELAB-Buntton $h^* = lab^*h^* = h_{ab}/360 = 0.117$ $u^*_R = e=25j$
 Daten für jede Farbe: lab^*c^*h und $lab^*u^*v^*$
 Bunttonstext:
 $u^*_R = 25j$ $u^*_d = a17r$
 Kontrastreduzierungsfaktor:
 $c_R = 1.0$
 Dreiecks-Helligkeit I^*

Ein und Ausgabe: Farbmetrisches Drucker-Reflexiv-System ORS22_96, L* = 22_96 für relative CIELAB-Buntton $h^* = lab^*h^* = h_{ab}/360 = 0.164$ $u^*_R = e=50j$
 Daten für jede Farbe: lab^*c^*h und $lab^*u^*v^*$
 Bunttonstext:
 $u^*_R = 50j$ $u^*_d = a27r$
 Kontrastreduzierungsfaktor:
 $c_R = 1.0$
 Dreiecks-Helligkeit I^*

Ein und Ausgabe: Farbmetrisches Drucker-Reflexiv-System ORS22_96, L* = 22_96 für relative CIELAB-Buntton $h^* = lab^*h^* = h_{ab}/360 = 0.21$ $u^*_R = e=75j$
 Daten für jede Farbe: lab^*c^*h und $lab^*u^*v^*$
 Bunttonstext:
 $u^*_R = 75j$ $u^*_d = a37r$
 Kontrastreduzierungsfaktor:
 $c_R = 1.0$
 Dreiecks-Helligkeit I^*



Ein und Ausgabe: Farbmetrisches Drucker-Reflexiv-System ORS22_96a
 Daten für jede Farbe:
 u^*_e und Nummer $N_e = 00 \dots 15$
 Elementar-Bunttonexte:
 $u^*_e = 25j$ mit Bunttonexte $00j, 25j, \dots, 875j$
 Kontrastreduzierungsfaktor:
 $c_R = 1.0$

ORS22_96a; adaptierte CIELAB-Daten
 $L^* a^* b^*$
 Daten für Maximalfarbe (Ma):
 $L^* a^* b^*$
 Daten für jede Farbe:
 $L^* a^* b^*$



ORS22_96a; adaptierte CIELAB-Daten
 $L^* a^* b^*$
 Daten für Maximalfarbe (Ma):
 $L^* a^* b^*$
 Daten für jede Farbe:
 $L^* a^* b^*$



ORS22_96a; adaptierte CIELAB-Daten
 $L^* a^* b^*$
 Daten für Maximalfarbe (Ma):
 $L^* a^* b^*$
 Daten für jede Farbe:
 $L^* a^* b^*$



ORS22_96a; adaptierte CIELAB-Daten
 $L^* a^* b^*$
 Daten für Maximalfarbe (Ma):
 $L^* a^* b^*$
 Daten für jede Farbe:
 $L^* a^* b^*$



ORS22_96a; adaptierte CIELAB-Daten
 $L^* a^* b^*$
 Daten für Maximalfarbe (Ma):
 $L^* a^* b^*$
 Daten für jede Farbe:
 $L^* a^* b^*$



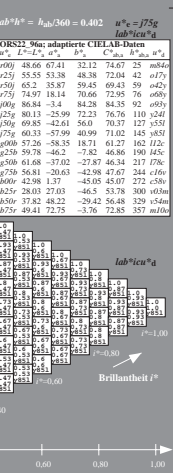
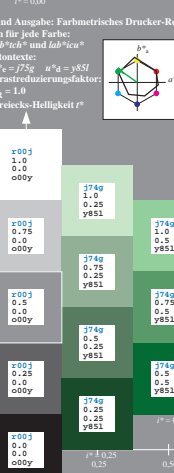
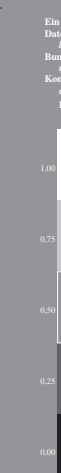
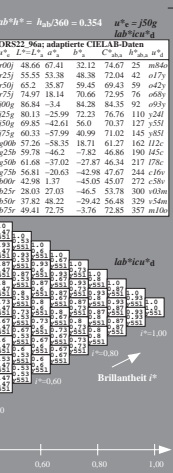
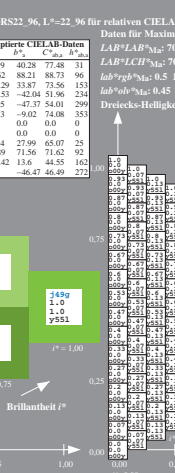
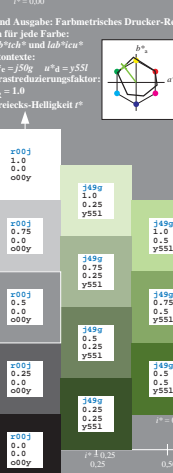
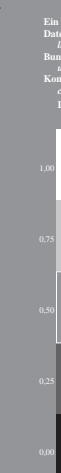
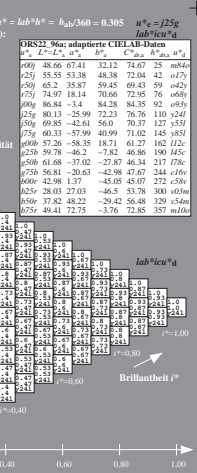
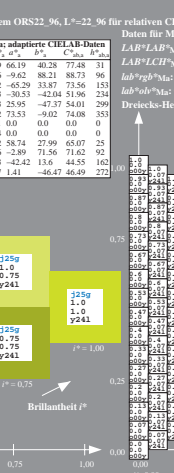
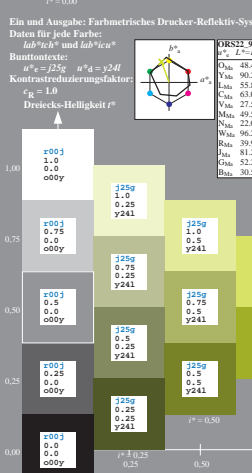
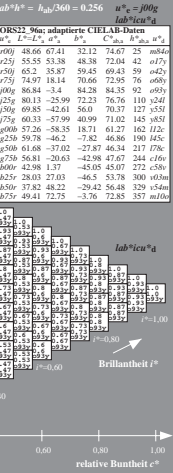
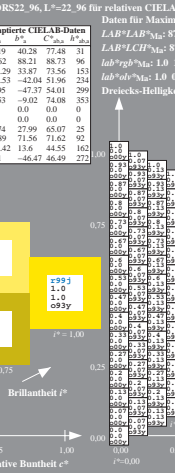
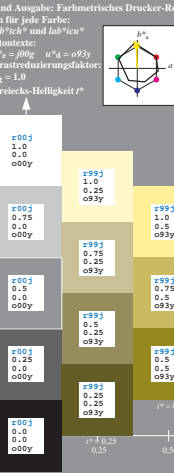
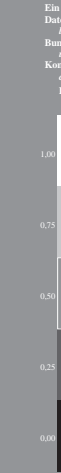
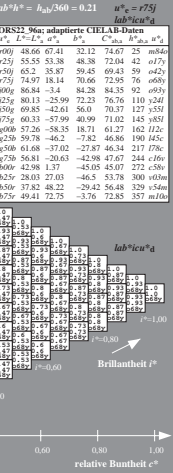
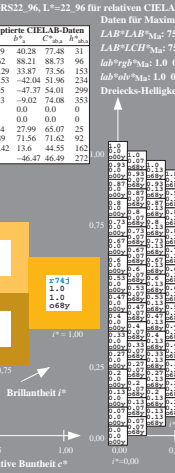
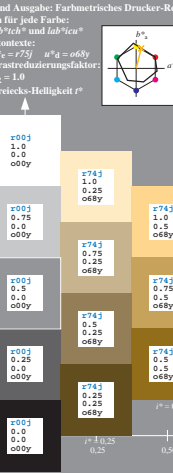
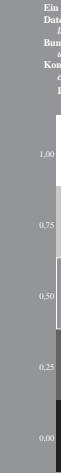
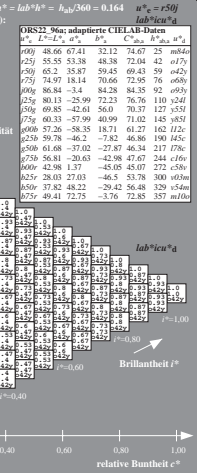
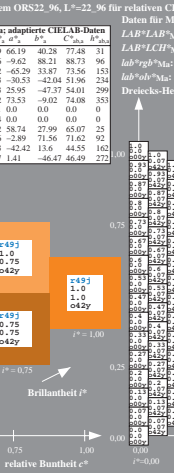
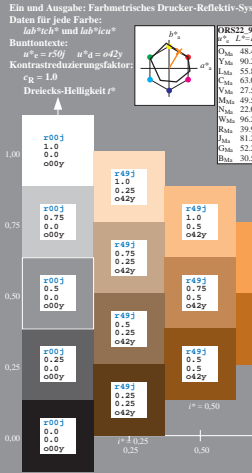
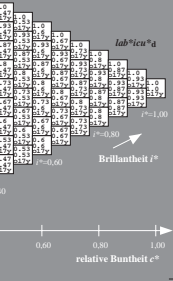
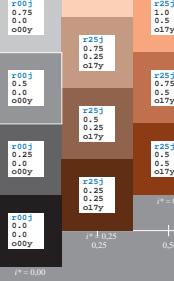
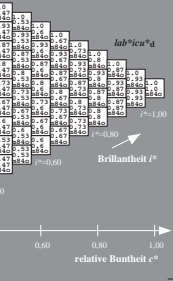
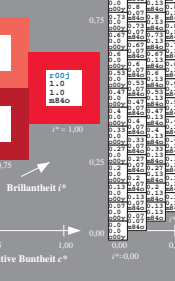
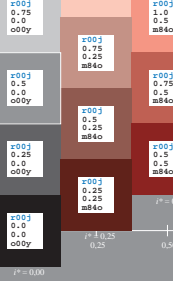
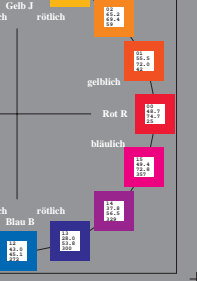
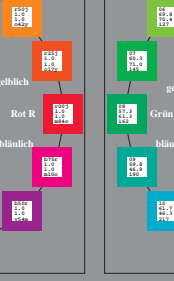
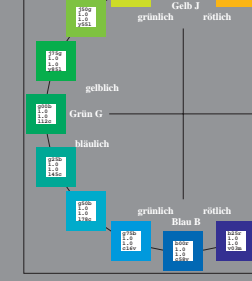
ORS22_96a; adaptierte CIELAB-Daten
 $L^* a^* b^*$
 Daten für Maximalfarbe (Ma):
 $L^* a^* b^*$
 Daten für jede Farbe:
 $L^* a^* b^*$



ORS22_96a; adaptierte CIELAB-Daten
 $L^* a^* b^*$
 Daten für Maximalfarbe (Ma):
 $L^* a^* b^*$
 Daten für jede Farbe:
 $L^* a^* b^*$



ORS22_96a; adaptierte CIELAB-Daten
 $L^* a^* b^*$
 Daten für Maximalfarbe (Ma):
 $L^* a^* b^*$
 Daten für jede Farbe:
 $L^* a^* b^*$



Ein und Ausgabe: Farbmétrisches Drucker-Reflektiv-System ORS22_96a
 Daten für jede Farbe:
 u^*_e und Nummer $N_e = 00 \dots 15$
 Elementar-Bunttonextext:
 $u^*_e = 16$ Bunttonextext: $00j, 25j, \dots, b75j$
 Kontrastreduzierungs-faktor:
 $c_R = 1.0$

ORS22_96a adaptierte CIELAB-Daten
 Daten für Maximalfarbe (Ma):
 L^*_{max} a^*_{max} b^*_{max} C^*_{max} h^*_{max}
 Ym 48.69 66.08 41.48 78.02 32
 Ya 90.26 -10.34 90.28 90.87 97
 Yb 55.82 -65.51 35.22 74.38 152
 Yc 63.03 -30.85 -40.54 50.84 233
 Yd 27.53 26.15 -46.61 53.44 299
 Ye 49.52 73.41 -7.8 73.82 354
 Yf 69.85 -42.61 56.0 70.37 127 351
 Yg 60.33 -57.99 40.99 71.02 145 851
 Yh 69.06 57.26 -58.35 18.71 61 27 112
 Yi 59.78 -46.2 -7.82 46.86 190 145
 Yj 60.18 -37.02 -27.87 46.34 217 676
 Yk 27.50 56.81 -20.63 -42.98 47.07 244 616
 Yl 60.09 42.98 1.37 -45.05 45.07 272 658
 Ym 25.83 20.03 -46.5 53.78 300 616
 Yn 37.82 48.22 -29.42 56.48 329 654
 Yo 57.59 49.41 72.75 -3.76 72.85 357 616

ORS22_96c CIELAB-Daten
 Daten für Maximalfarbe (Ma):
 L^*_{max} a^*_{max} b^*_{max} C^*_{max} h^*_{max}
 Ym 48.69 66.08 41.48 78.02 32
 Ya 90.26 -10.34 90.28 90.87 97
 Yb 55.82 -65.51 35.22 74.38 152
 Yc 63.03 -30.85 -40.54 50.84 233
 Yd 27.53 26.15 -46.61 53.44 299
 Ye 49.52 73.41 -7.8 73.82 354
 Yf 69.85 -42.61 56.0 70.37 127 351
 Yg 60.33 -57.99 40.99 71.02 145 851
 Yh 69.06 57.26 -58.35 18.71 61 27 112
 Yi 59.78 -46.2 -7.82 46.86 190 145
 Yj 60.18 -37.02 -27.87 46.34 217 676
 Yk 27.50 56.81 -20.63 -42.98 47.07 244 616
 Yl 60.09 42.98 1.37 -45.05 45.07 272 658
 Ym 25.83 20.03 -46.5 53.78 300 616
 Yn 37.82 48.22 -29.42 56.48 329 654
 Yo 57.59 49.41 72.75 -3.76 72.85 357 616

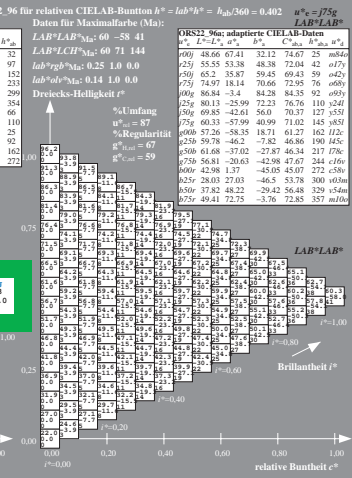
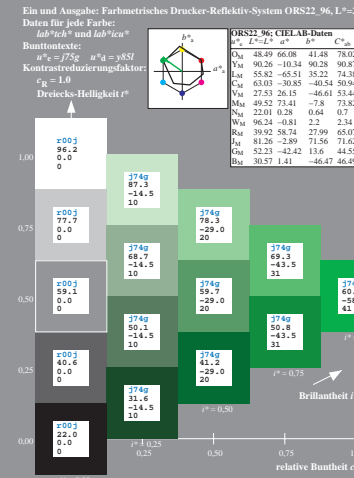
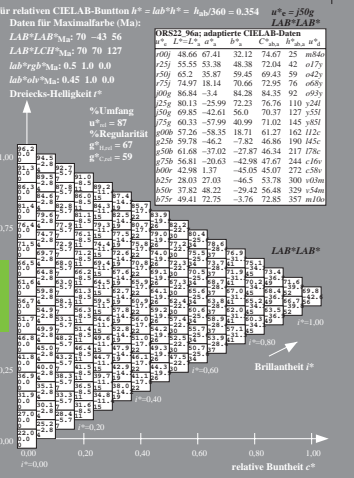
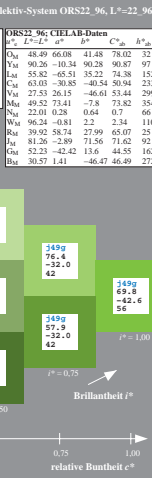
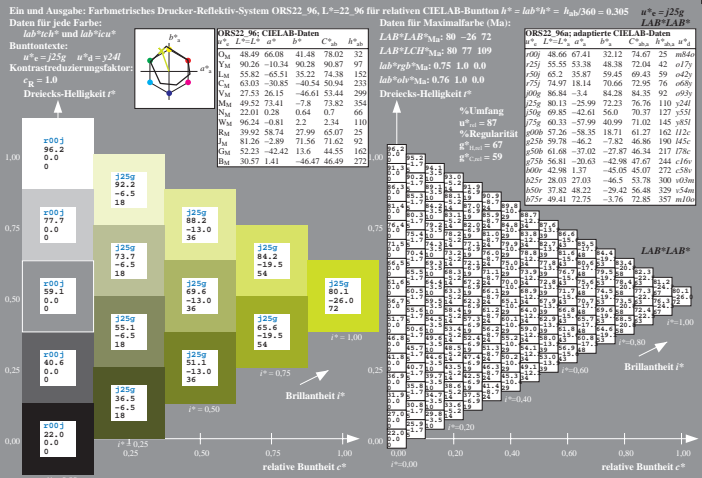
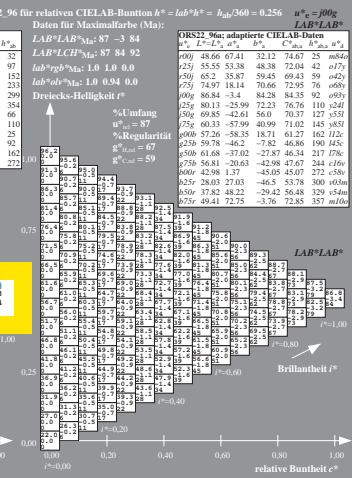
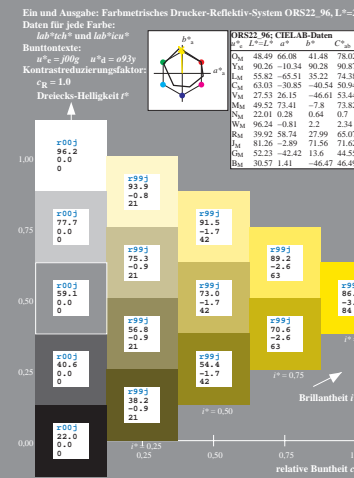
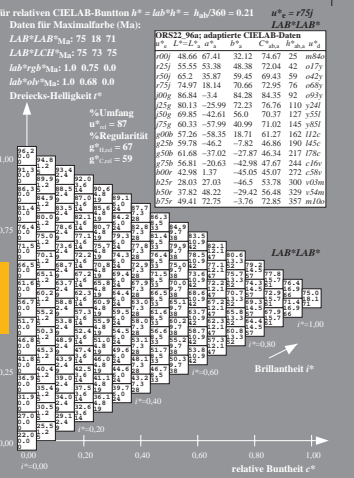
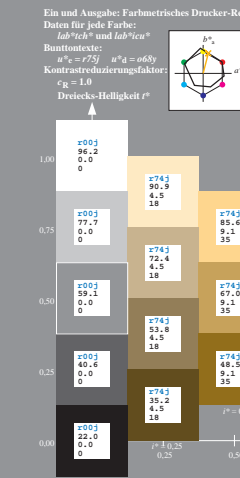
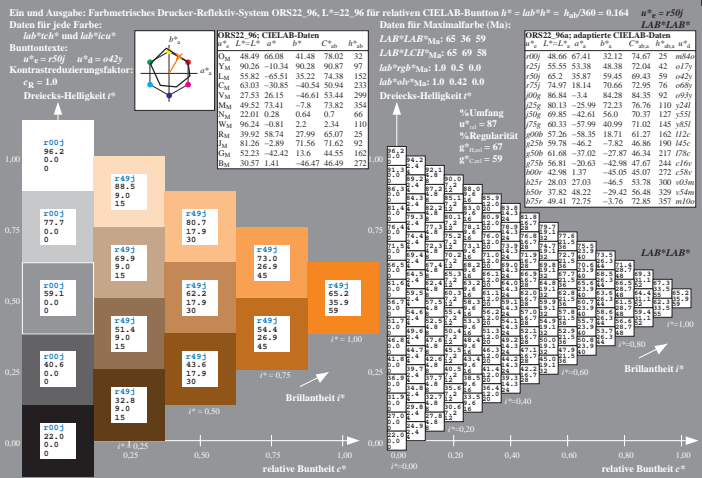
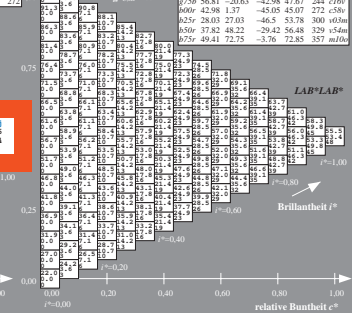
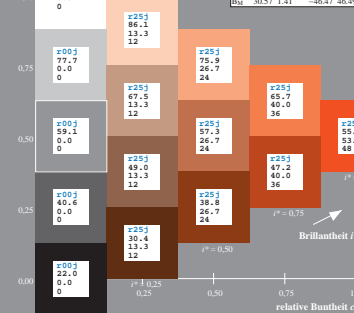
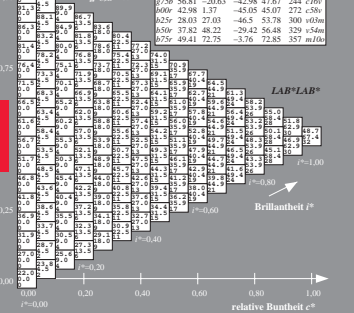
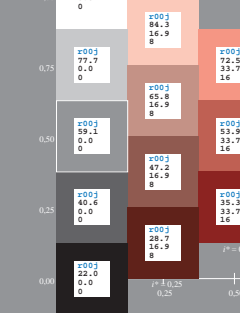
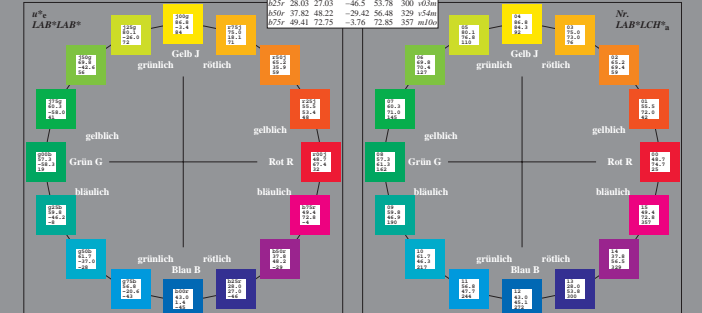
ORS22_96b adaptierte CIELAB-Daten
 Daten für Maximalfarbe (Ma):
 L^*_{max} a^*_{max} b^*_{max} C^*_{max} h^*_{max}
 Ym 48.69 66.08 41.48 78.02 32
 Ya 90.26 -10.34 90.28 90.87 97
 Yb 55.82 -65.51 35.22 74.38 152
 Yc 63.03 -30.85 -40.54 50.84 233
 Yd 27.53 26.15 -46.61 53.44 299
 Ye 49.52 73.41 -7.8 73.82 354
 Yf 69.85 -42.61 56.0 70.37 127 351
 Yg 60.33 -57.99 40.99 71.02 145 851
 Yh 69.06 57.26 -58.35 18.71 61 27 112
 Yi 59.78 -46.2 -7.82 46.86 190 145
 Yj 60.18 -37.02 -27.87 46.34 217 676
 Yk 27.50 56.81 -20.63 -42.98 47.07 244 616
 Yl 60.09 42.98 1.37 -45.05 45.07 272 658
 Ym 25.83 20.03 -46.5 53.78 300 616
 Yn 37.82 48.22 -29.42 56.48 329 654
 Yo 57.59 49.41 72.75 -3.76 72.85 357 616

ORS22_96d adaptierte CIELAB-Daten
 Daten für Maximalfarbe (Ma):
 L^*_{max} a^*_{max} b^*_{max} C^*_{max} h^*_{max}
 Ym 48.69 66.08 41.48 78.02 32
 Ya 90.26 -10.34 90.28 90.87 97
 Yb 55.82 -65.51 35.22 74.38 152
 Yc 63.03 -30.85 -40.54 50.84 233
 Yd 27.53 26.15 -46.61 53.44 299
 Ye 49.52 73.41 -7.8 73.82 354
 Yf 69.85 -42.61 56.0 70.37 127 351
 Yg 60.33 -57.99 40.99 71.02 145 851
 Yh 69.06 57.26 -58.35 18.71 61 27 112
 Yi 59.78 -46.2 -7.82 46.86 190 145
 Yj 60.18 -37.02 -27.87 46.34 217 676
 Yk 27.50 56.81 -20.63 -42.98 47.07 244 616
 Yl 60.09 42.98 1.37 -45.05 45.07 272 658
 Ym 25.83 20.03 -46.5 53.78 300 616
 Yn 37.82 48.22 -29.42 56.48 329 654
 Yo 57.59 49.41 72.75 -3.76 72.85 357 616

ORS22_96e adaptierte CIELAB-Daten
 Daten für Maximalfarbe (Ma):
 L^*_{max} a^*_{max} b^*_{max} C^*_{max} h^*_{max}
 Ym 48.69 66.08 41.48 78.02 32
 Ya 90.26 -10.34 90.28 90.87 97
 Yb 55.82 -65.51 35.22 74.38 152
 Yc 63.03 -30.85 -40.54 50.84 233
 Yd 27.53 26.15 -46.61 53.44 299
 Ye 49.52 73.41 -7.8 73.82 354
 Yf 69.85 -42.61 56.0 70.37 127 351
 Yg 60.33 -57.99 40.99 71.02 145 851
 Yh 69.06 57.26 -58.35 18.71 61 27 112
 Yi 59.78 -46.2 -7.82 46.86 190 145
 Yj 60.18 -37.02 -27.87 46.34 217 676
 Yk 27.50 56.81 -20.63 -42.98 47.07 244 616
 Yl 60.09 42.98 1.37 -45.05 45.07 272 658
 Ym 25.83 20.03 -46.5 53.78 300 616
 Yn 37.82 48.22 -29.42 56.48 329 654
 Yo 57.59 49.41 72.75 -3.76 72.85 357 616

ORS22_96f adaptierte CIELAB-Daten
 Daten für Maximalfarbe (Ma):
 L^*_{max} a^*_{max} b^*_{max} C^*_{max} h^*_{max}
 Ym 48.69 66.08 41.48 78.02 32
 Ya 90.26 -10.34 90.28 90.87 97
 Yb 55.82 -65.51 35.22 74.38 152
 Yc 63.03 -30.85 -40.54 50.84 233
 Yd 27.53 26.15 -46.61 53.44 299
 Ye 49.52 73.41 -7.8 73.82 354
 Yf 69.85 -42.61 56.0 70.37 127 351
 Yg 60.33 -57.99 40.99 71.02 145 851
 Yh 69.06 57.26 -58.35 18.71 61 27 112
 Yi 59.78 -46.2 -7.82 46.86 190 145
 Yj 60.18 -37.02 -27.87 46.34 217 676
 Yk 27.50 56.81 -20.63 -42.98 47.07 244 616
 Yl 60.09 42.98 1.37 -45.05 45.07 272 658
 Ym 25.83 20.03 -46.5 53.78 300 616
 Yn 37.82 48.22 -29.42 56.48 329 654
 Yo 57.59 49.41 72.75 -3.76 72.85 357 616

ORS22_96g adaptierte CIELAB-Daten
 Daten für Maximalfarbe (Ma):
 L^*_{max} a^*_{max} b^*_{max} C^*_{max} h^*_{max}
 Ym 48.69 66.08 41.48 78.02 32
 Ya 90.26 -10.34 90.28 90.87 97
 Yb 55.82 -65.51 35.22 74.38 152
 Yc 63.03 -30.85 -40.54 50.84 233
 Yd 27.53 26.15 -46.61 53.44 299
 Ye 49.52 73.41 -7.8 73.82 354
 Yf 69.85 -42.61 56.0 70.37 127 351
 Yg 60.33 -57.99 40.99 71.02 145 851
 Yh 69.06 57.26 -58.35 18.71 61 27 112
 Yi 59.78 -46.2 -7.82 46.86 190 145
 Yj 60.18 -37.02 -27.87 46.34 217 676
 Yk 27.50 56.81 -20.63 -42.98 47.07 244 616
 Yl 60.09 42.98 1.37 -45.05 45.07 272 658
 Ym 25.83 20.03 -46.5 53.78 300 616
 Yn 37.82 48.22 -29.42 56.48 329 654
 Yo 57.59 49.41 72.75 -3.76 72.85 357 616



Ein und Ausgabe: Farbmetrisches Drucker-Reflexiv-System ORS22_96a
 Daten für jede Farbe:
 u^*_e und Nummer $N_e = 00 \dots 15$
 Elementar-Bunttonextext:
 $u^*_e = 16$ Bunttonextext $00j, 25j, \dots, 105j$
 Kontrastreduzierungsfaktor:
 $c_R = 1.0$

ORS22_96a; adaptierte CIELAB-Daten

L^*	a^*	b^*	C_{ab}^*	h_{ab}^*	m_{ab}^*	n_{ab}^*
25.55	53.38	48.38	72.04	42	0.75	0.25
65.2	35.87	59.45	69.43	59	0.42	0.58
75.7	74.97	14.74	70.66	72.95	76	0.69
90.0	86.84	-3.4	84.28	84.35	92	0.93
95.0	69.85	-42.61	56.0	70.37	127	1.51
75.0	60.33	-57.99	40.99	71.02	145	1.85
69.0	57.26	-58.35	18.71	61.27	162	2.12
55.0	59.78	-46.2	-7.82	46.86	190	1.45
50.0	61.68	-37.02	-27.87	46.34	217	0.76
25.0	80.13	-25.99	72.23	76.76	110	0.24
60.0	42.98	1.37	-45.05	45.07	272	0.58
65.0	28.03	27.03	-46.5	53.78	300	0.66
65.0	37.82	48.22	-29.42	56.48	329	0.54
67.5	49.41	72.75	-3.76	72.85	357	0.60



ORS22_96a; CIELAB-Daten

L^*	a^*	b^*	C_{ab}^*	h_{ab}^*	m_{ab}^*	n_{ab}^*
90.26	-10.34	90.28	90.87	97	0.66	0.34
55.82	-65.51	35.22	74.38	152	0.42	0.58
63.03	-30.85	-40.54	50.84	233	0.69	0.31
27.53	26.15	-46.61	53.44	299	0.93	0.07
95.2	73.41	-7.8	73.82	354	0.24	0.76
22.01	0.28	0.64	0.7	66	0.66	0.66
96.24	-0.81	2.2	2.34	110	0.24	0.76
39.02	58.74	27.99	65.07	75	0.69	0.31
59.78	-46.2	-7.82	46.86	190	1.45	0.42
52.23	-42.42	13.6	44.55	162	2.12	0.76
30.57	1.41	-46.47	46.49	272	0.58	0.93



ORS22_96a; adaptierte CIELAB-Daten

L^*	a^*	b^*	C_{ab}^*	h_{ab}^*	m_{ab}^*	n_{ab}^*
48.9	66.08	41.48	78.02	32	0.66	0.34
25.55	53.38	48.38	72.04	42	0.75	0.25
65.2	35.87	59.45	69.43	59	0.42	0.58
75.7	74.97	14.74	70.66	72.95	76	0.69
90.0	86.84	-3.4	84.28	84.35	92	0.93
95.0	69.85	-42.61	56.0	70.37	127	1.51
75.0	60.33	-57.99	40.99	71.02	145	1.85
69.0	57.26	-58.35	18.71	61.27	162	2.12
55.0	59.78	-46.2	-7.82	46.86	190	1.45
50.0	61.68	-37.02	-27.87	46.34	217	0.76
25.0	80.13	-25.99	72.23	76.76	110	0.24
60.0	42.98	1.37	-45.05	45.07	272	0.58
65.0	28.03	27.03	-46.5	53.78	300	0.66
65.0	37.82	48.22	-29.42	56.48	329	0.54
67.5	49.41	72.75	-3.76	72.85	357	0.60



ORS22_96a; CIELAB-Daten

L^*	a^*	b^*	C_{ab}^*	h_{ab}^*	m_{ab}^*	n_{ab}^*
90.26	-10.34	90.28	90.87	97	0.66	0.34
55.82	-65.51	35.22	74.38	152	0.42	0.58
63.03	-30.85	-40.54	50.84	233	0.69	0.31
27.53	26.15	-46.61	53.44	299	0.93	0.07
95.2	73.41	-7.8	73.82	354	0.24	0.76
22.01	0.28	0.64	0.7	66	0.66	0.66
96.24	-0.81	2.2	2.34	110	0.24	0.76
39.02	58.74	27.99	65.07	75	0.69	0.31
59.78	-46.2	-7.82	46.86	190	1.45	0.42
52.23	-42.42	13.6	44.55	162	2.12	0.76
30.57	1.41	-46.47	46.49	272	0.58	0.93



ORS22_96a; adaptierte CIELAB-Daten

L^*	a^*	b^*	C_{ab}^*	h_{ab}^*	m_{ab}^*	n_{ab}^*
48.9	66.08	41.48	78.02	32	0.66	0.34
25.55	53.38	48.38	72.04	42	0.75	0.25
65.2	35.87	59.45	69.43	59	0.42	0.58
75.7	74.97	14.74	70.66	72.95	76	0.69
90.0	86.84	-3.4	84.28	84.35	92	0.93
95.0	69.85	-42.61	56.0	70.37	127	1.51
75.0	60.33	-57.99	40.99	71.02	145	1.85
69.0	57.26	-58.35	18.71	61.27	162	2.12
55.0	59.78	-46.2	-7.82	46.86	190	1.45
50.0	61.68	-37.02	-27.87	46.34	217	0.76
25.0	80.13	-25.99	72.23	76.76	110	0.24
60.0	42.98	1.37	-45.05	45.07	272	0.58
65.0	28.03	27.03	-46.5	53.78	300	0.66
65.0	37.82	48.22	-29.42	56.48	329	0.54
67.5	49.41	72.75	-3.76	72.85	357	0.60



ORS22_96a; adaptierte CIELAB-Daten

L^*	a^*	b^*	C_{ab}^*	h_{ab}^*	m_{ab}^*	n_{ab}^*
48.9	66.08	41.48	78.02	32	0.66	0.34
25.55	53.38	48.38	72.04	42	0.75	0.25
65.2	35.87	59.45	69.43	59	0.42	0.58
75.7	74.97	14.74	70.66	72.95	76	0.69
90.0	86.84	-3.4	84.28	84.35	92	0.93
95.0	69.85	-42.61	56.0	70.37	127	1.51
75.0	60.33	-57.99	40.99	71.02	145	1.85
69.0	57.26	-58.35	18.71	61.27	162	2.12
55.0	59.78	-46.2	-7.82	46.86	190	1.45
50.0	61.68	-37.02	-27.87	46.34	217	0.76
25.0	80.13	-25.99	72.23	76.76	110	0.24
60.0	42.98	1.37	-45.05	45.07	272	0.58
65.0	28.03	27.03	-46.5	53.78	300	0.66
65.0	37.82	48.22	-29.42	56.48	329	0.54
67.5	49.41	72.75	-3.76	72.85	357	0.60



ORS22_96a; adaptierte CIELAB-Daten

L^*	a^*	b^*	C_{ab}^*	h_{ab}^*	m_{ab}^*	n_{ab}^*
48.9	66.08	41.48	78.02	32	0.66	0.34
25.55	53.38	48.38	72.04	42	0.75	0.25
65.2	35.87	59.45	69.43	59	0.42	0.58
75.7	74.97	14.74	70.66	72.95	76	0.69
90.0	86.84	-3.4	84.28	84.35	92	0.93
95.0	69.85	-42.61	56.0	70.37	127	1.51
75.0	60.33	-57.99	40.99	71.02	145	1.85
69.0	57.26	-58.35	18.71	61.27	162	2.12
55.0	59.78	-46.2	-7.82	46.86	190	1.45
50.0	61.68	-37.02	-27.87	46.34	217	0.76
25.0	80.13	-25.99	72.23	76.76	110	0.24
60.0	42.98	1.37	-45.05	45.07	272	0.58
65.0	28.03	27.03	-46.5	53.78	300	0.66
65.0	37.82	48.22	-29.42	56.48	329	0.54
67.5	49.41	72.75	-3.76	72.85	357	0.60



ORS22_96a; adaptierte CIELAB-Daten

L^*	a^*	b^*	C_{ab}^*	h_{ab}^*	m_{ab}^*	n_{ab}^*
48.9	66.08	41.48	78.02	32	0.66	0.34
25.55	53.38	48.38	72.04	42	0.75	0.25
65.2	35.87	59.45	69.43	59	0.42	0.58
75.7	74.97	14.74	70.66	72.95	76	0.69
90.0	86.84	-3.4	84.28	84.35	92	0.93
95.0	69.85	-42.61	56.0	70.37	127	1.51
75.0	60.33	-57.99	40.99	71.02	145	1.85
69.0	57.26	-58.35	18.71	61.27	162	2.12
55.0	59.78	-46.2	-7.82	46.86	190	1.45
50.0	61.68	-37.02	-27.87	46.34	217	0.76
25.0	80.13	-25.99	72.23	76.76	110	0.24
60.0	42.98	1.37	-45.05	45.07	272	0.58
65.0	28.03	27.03	-46.5	53.78	300	0.66
65.0	37.82	48.22	-29.42	56.48	329	0.54
67.5	49.41	72.75	-3.76	72.85	357	0.60

Ein und Ausgabe: Farbmetrisches Drucker-Reflexiv-System ORS22_96
 Daten für jede Farbe:
 u^*_e und Nummer $N_e = 00 \dots 15$
 Elementar-Bunttonextext:
 $u^*_e = 16$ Bunttonextext $00j, 25j, \dots, 105j$
 Kontrastreduzierungsfaktor:
 $c_R = 1.0$

ORS22_96a; adaptierte CIELAB-Daten

L^*	a^*	b^*	C_{ab}^*	h_{ab}^*	m_{ab}^*	n_{ab}^*
48.9	66.08	41.48	78.02	32	0.66	0.34
25.55	53.38	48.38	72.04	42	0.75	0.25
65.2	35.87	59.45	69.43	59	0.42	0.58
75.7	74.97	14.74	70.66	72.95	76	0.69
90.0	86.84	-3.4	84.28	84.35	92	0.93
95.0	69.85	-42.61	56.0	70.37	127	1.51
75.0	60.33	-57.99	40.99	71.02	145	1.85
69.0	57.26	-58.35	18.71	61.27	162	2.12
55.0	59.78	-46.2	-7.82	46.86	190	1.45
50.0	61.68	-37.02	-27.87	46.34	217	0.76
25.0	80.13	-25.99	72.23	76.76	110	0.24
60.0	42.98	1.37	-45.05	45.07	272	0.58
65.0	28.03	27.03	-46.5	53.78	300	0.66
65.0	37.82	48.22	-29.42	56.48	329	0.54
67.5	49.41	72.75	-3.76	72.85	357	0.60



ORS22_96a; CIELAB-Daten

L^*	a^*	b^*	C_{ab}^*	h_{ab}^*	m_{ab}^*	n_{ab}^*
90.26	-10.34	90.28	90.87	97	0.66	0.34
55.82	-65.51	35.22	74.38	152	0.42	0.58
63.03	-30.85	-40.54	50.84	233	0.69	0.31
27.53	26.15	-46.61	53.44	299	0.93	0.07
95.2	73.41	-7.8	73.82	354	0.24	0.76
22.01	0.28	0.64	0.7	66	0.66	0.66
96.24	-0.81	2.2	2.34	110	0.24	0.76
39.02	58.74	27.99	65.07	75	0.69	0.31
59.78	-46.2	-7.82	46.86	190	1.45	0.42
52.23	-42.42	13.6	44.55	162	2.12	0.76
30.57	1.41	-46.47	46.49	272	0.58	0.93



ORS22_96a; adaptierte CIELAB-Daten

L^*	a^*	b^*	C_{ab}^*	h_{ab}^*	m_{ab}^*	n_{ab}^*
48.9	66.08	41.48	78.02	32	0.66	0.34
25.55	53.38	48.38	72.04	42	0.75	0.25
65.2	35.87	59.45				

